

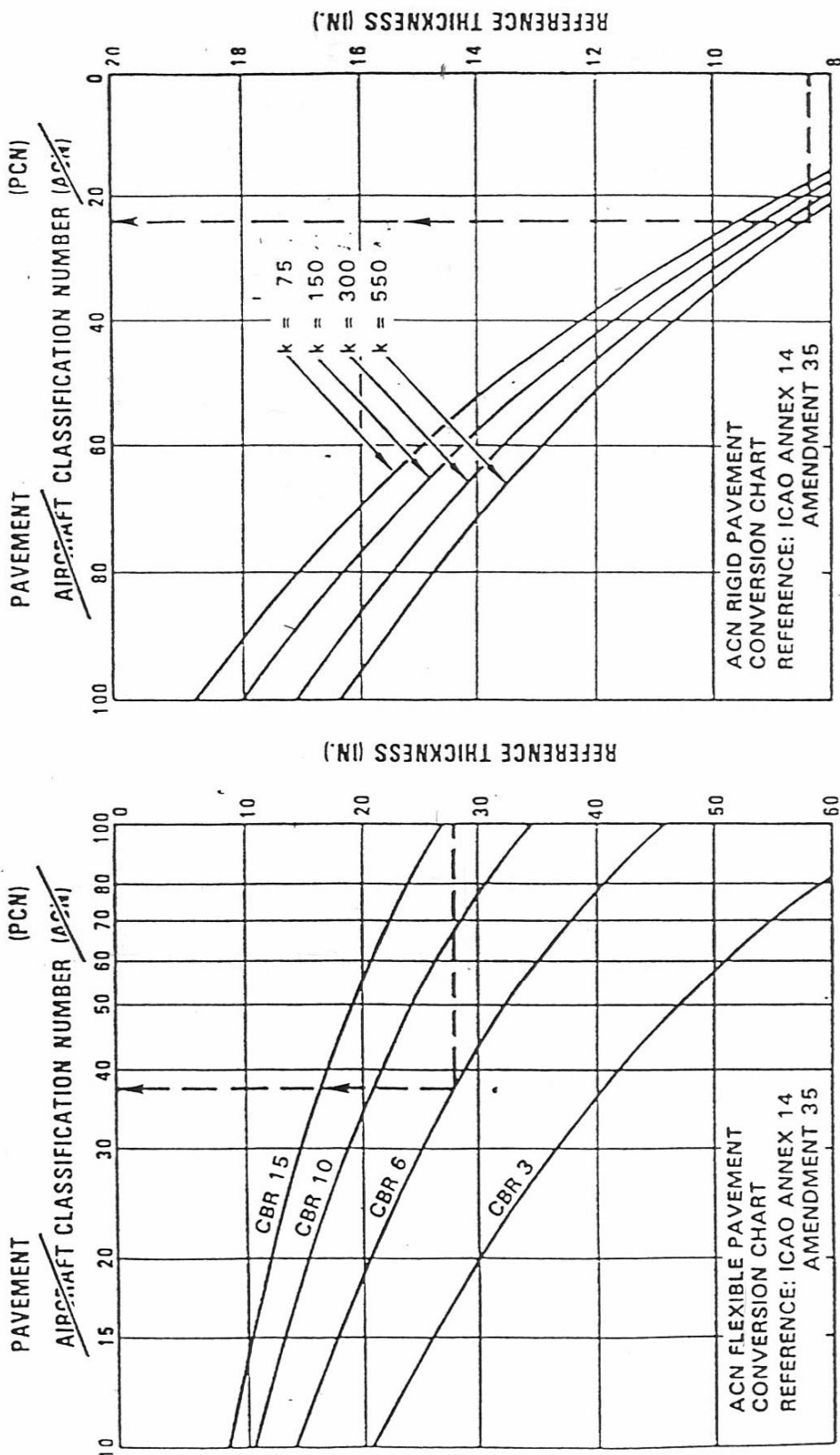
# AERODROMI

## VODIČ ZA IZRADU PROGRAMA

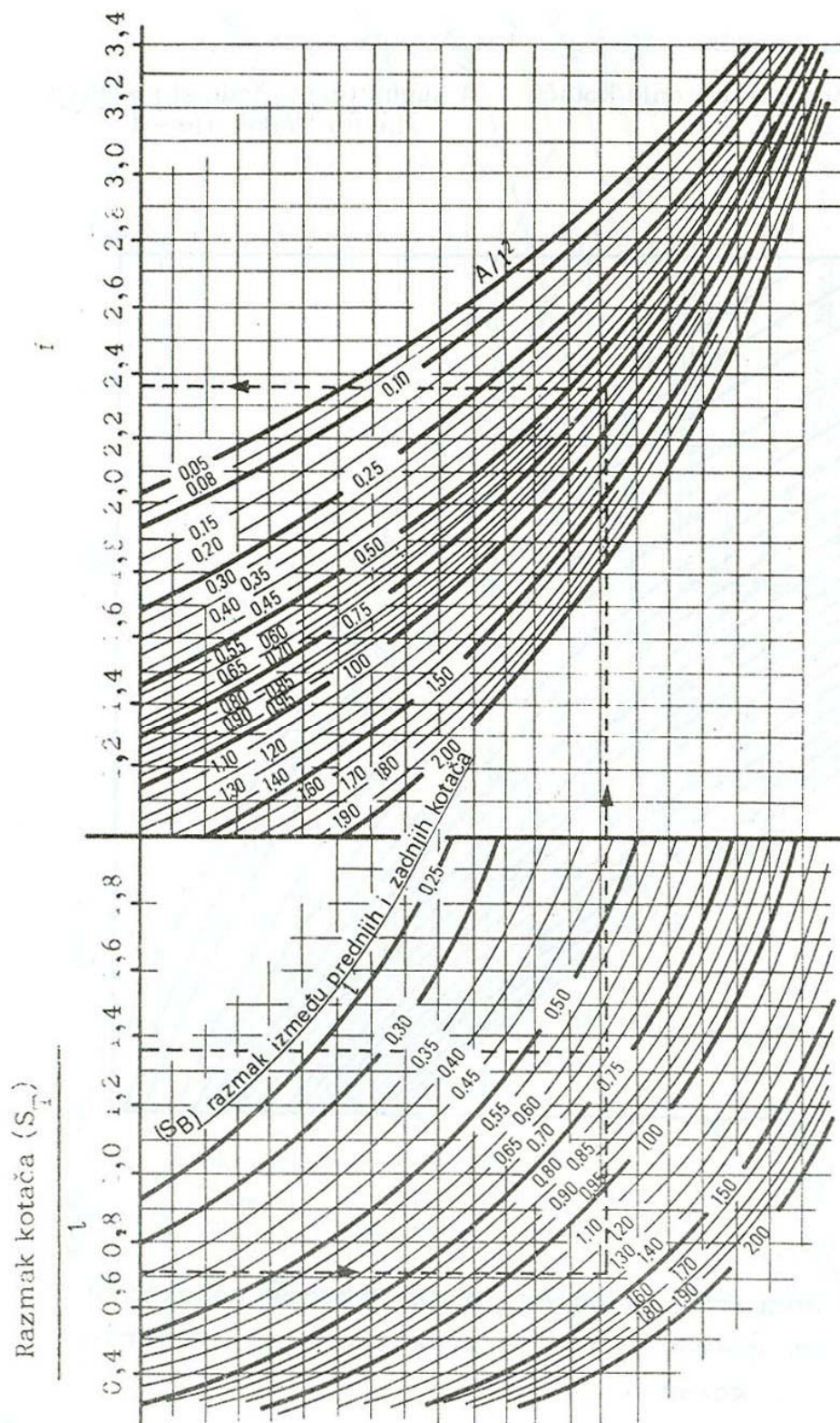
*prilozi*

SLIKA 1. Dijagrami za određivanje referentne debljine kolničke konstrukcije

## AIRPORT PAVEMENT CLASSIFICATION



SLIKA 2. Nomogram za određivanje faktora redukcije za dvostruki tandem



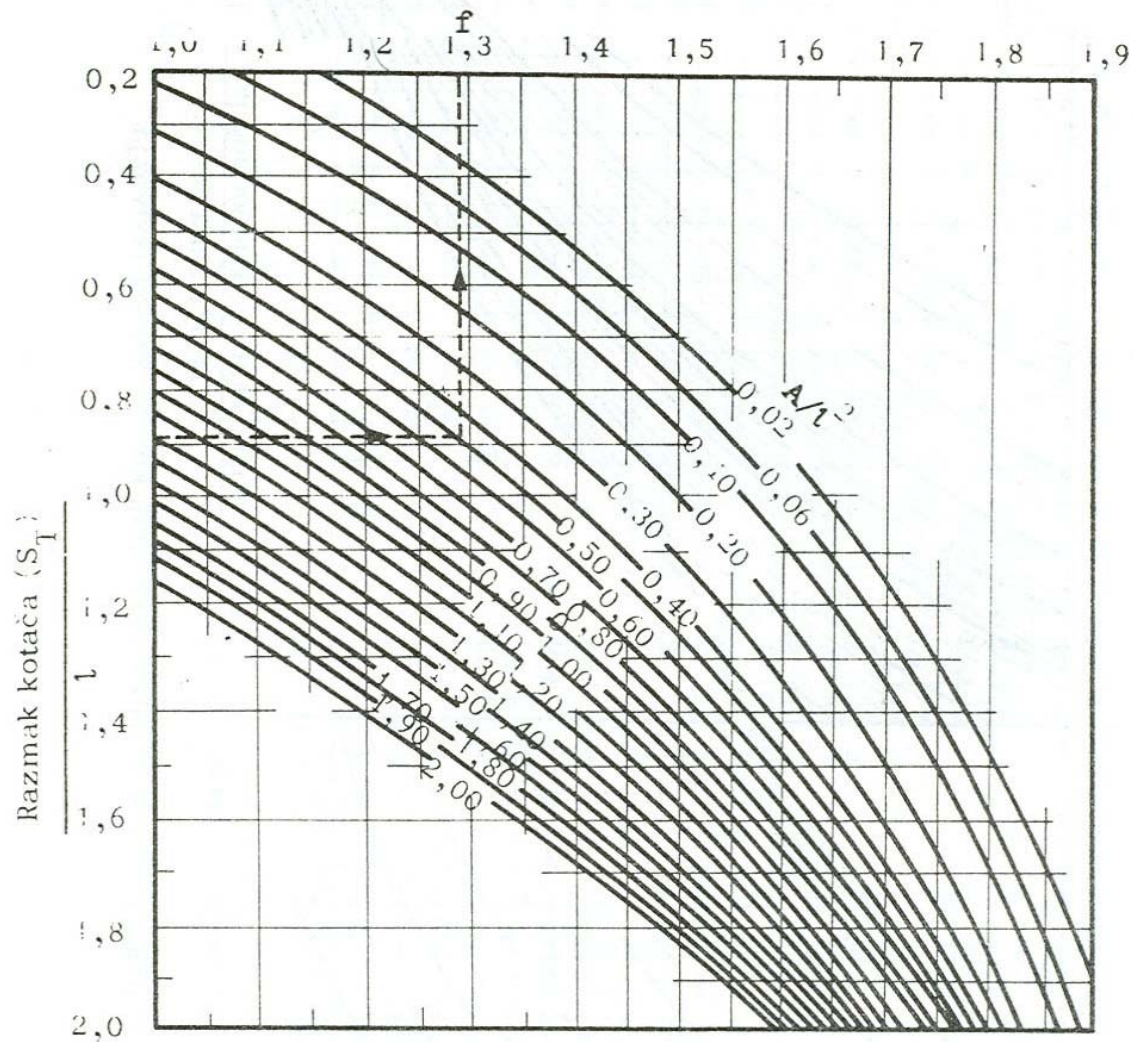
$$\text{Ekvivalentno opterećenje kotaca} = \frac{\text{Ukupno opterećenje jednog podvozja}}{\text{Faktor redukcije za jednog podvozja}}$$

$A = \text{ukupna površina nalijeganja svih kotača jednog podvozja}$

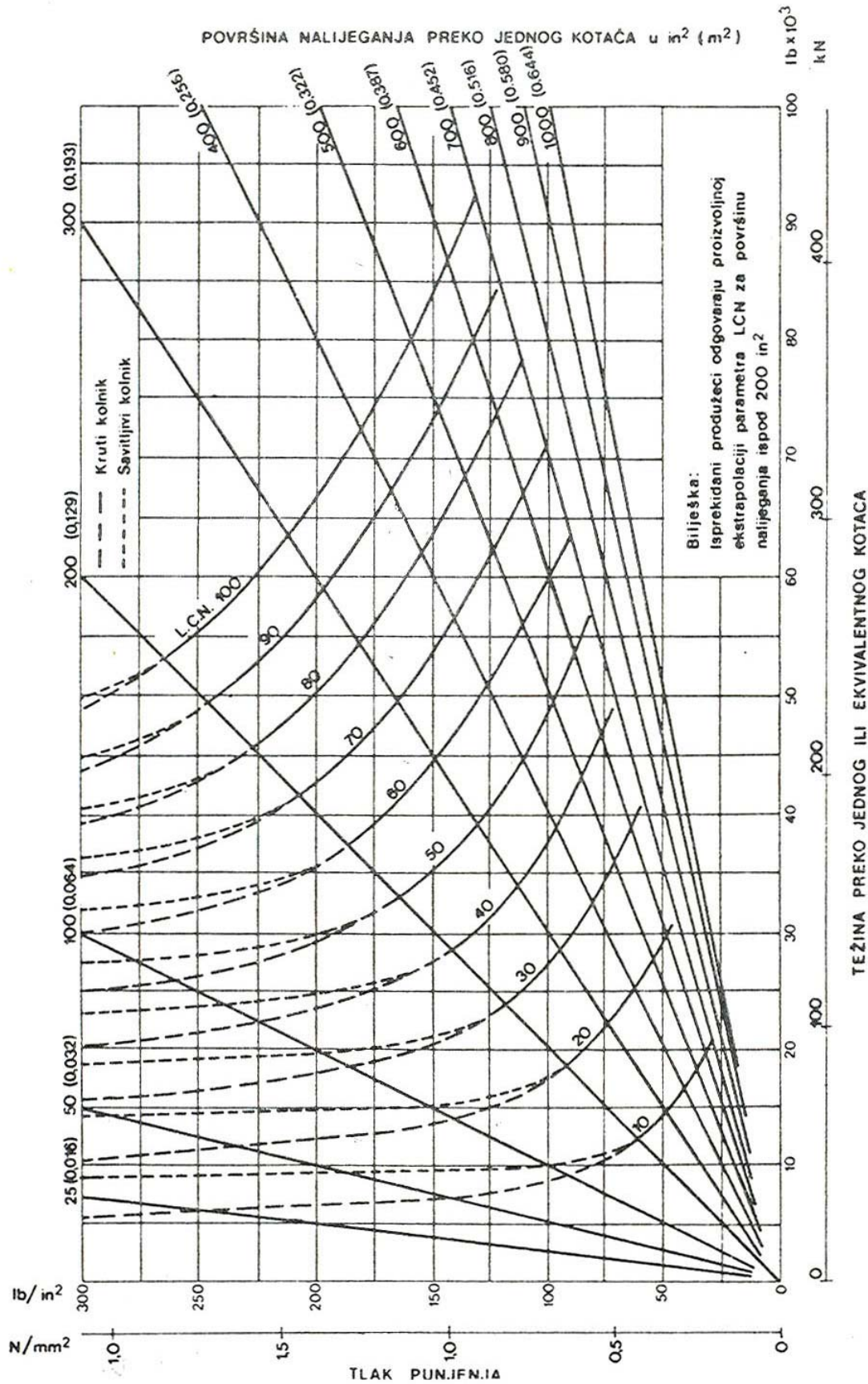
SLIKA 2. Nomogram za određivanje faktora redukcije za dvostruki kotač

$A = \text{ukupna površina nalijeganja kotača jednog podvozja}$

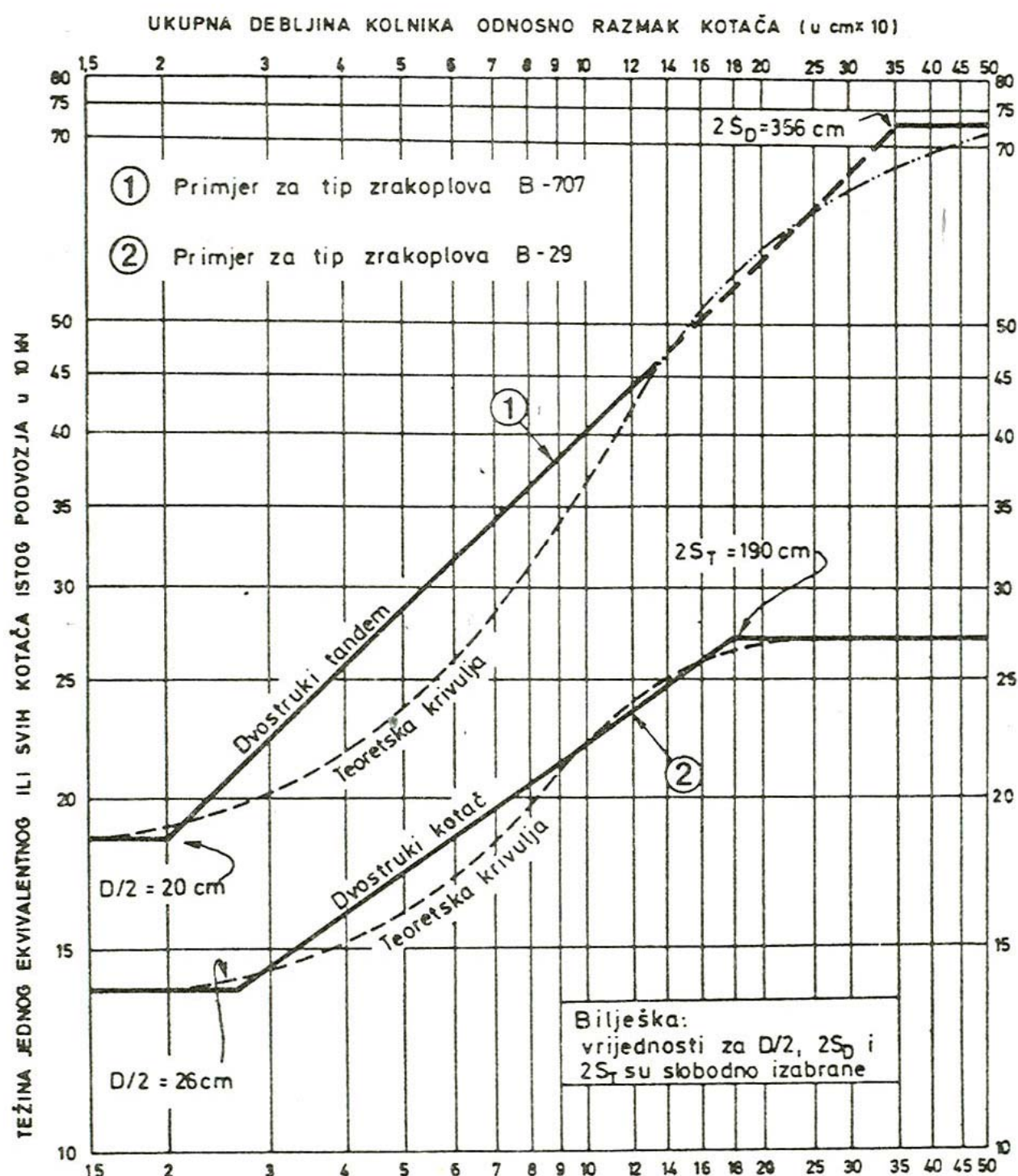
$$\text{Ekvivalentno opterećenje kotača} = \frac{\text{Ukupna težina jednog podvozja}}{\text{faktor redukcije} - f}$$



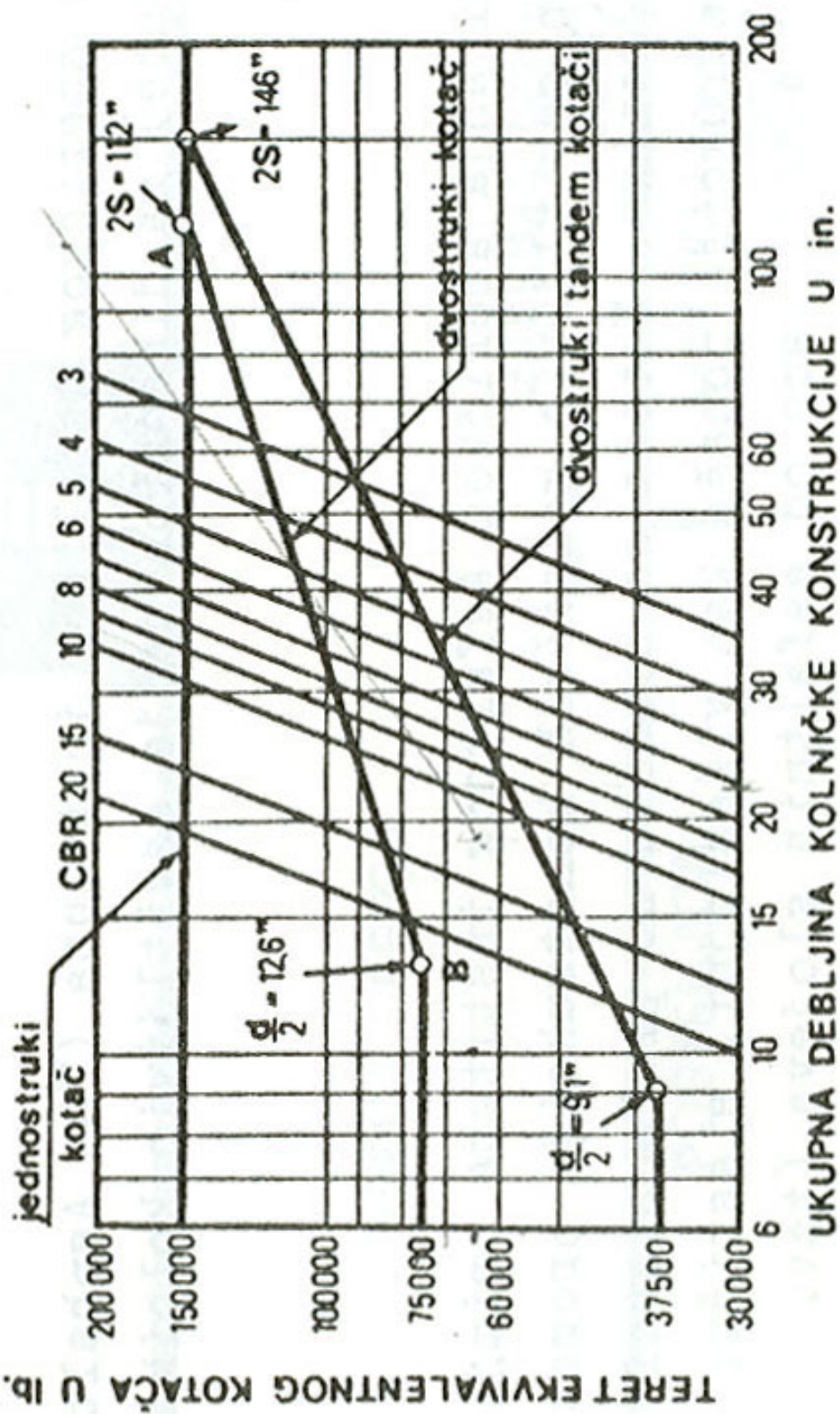
SLIKA 3: Nomogram za određivanje broja LCN



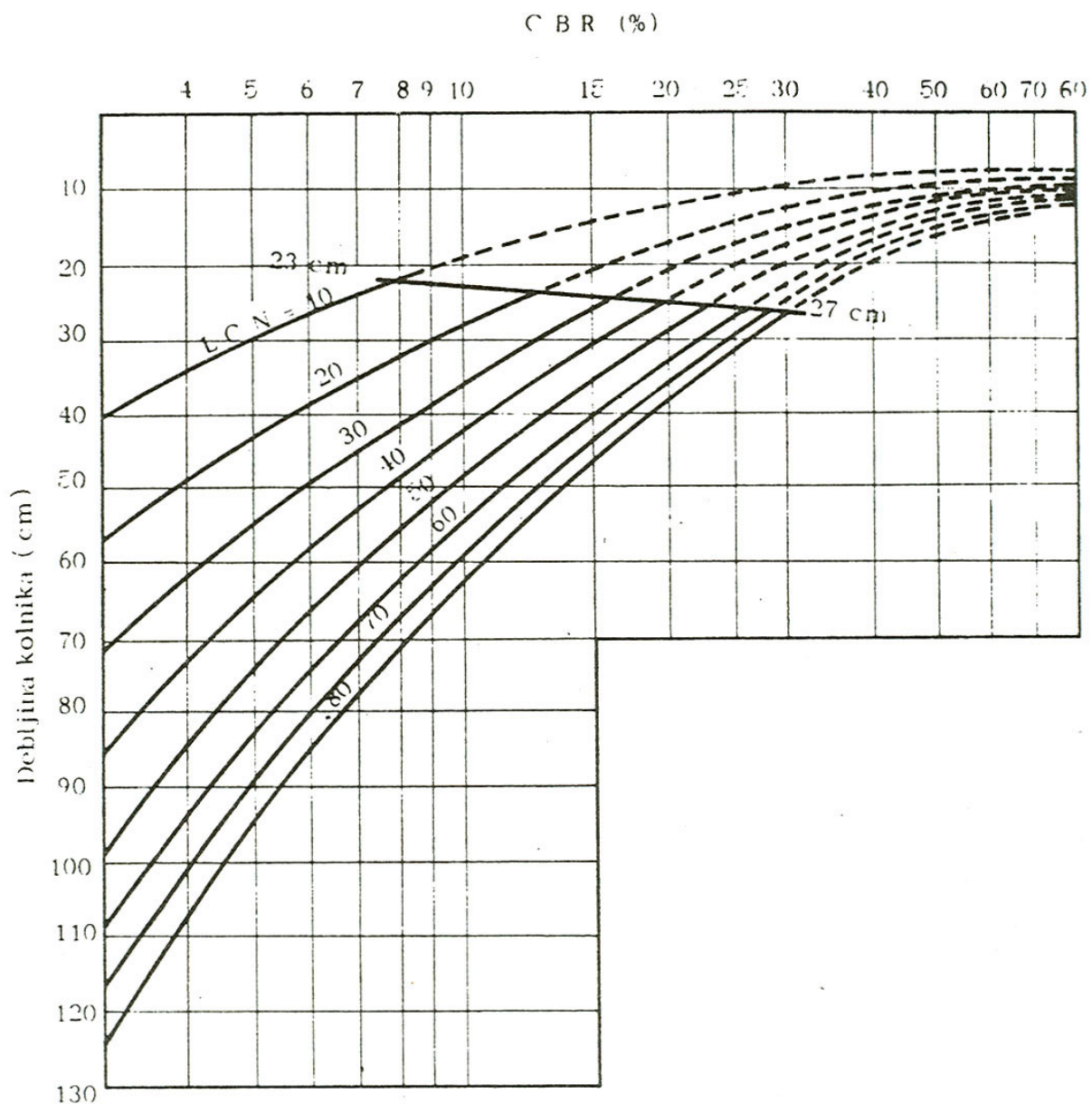
SLIKA 4. Nomogram za određivanje težine ekviv. kotača na asfaltnom kolniku



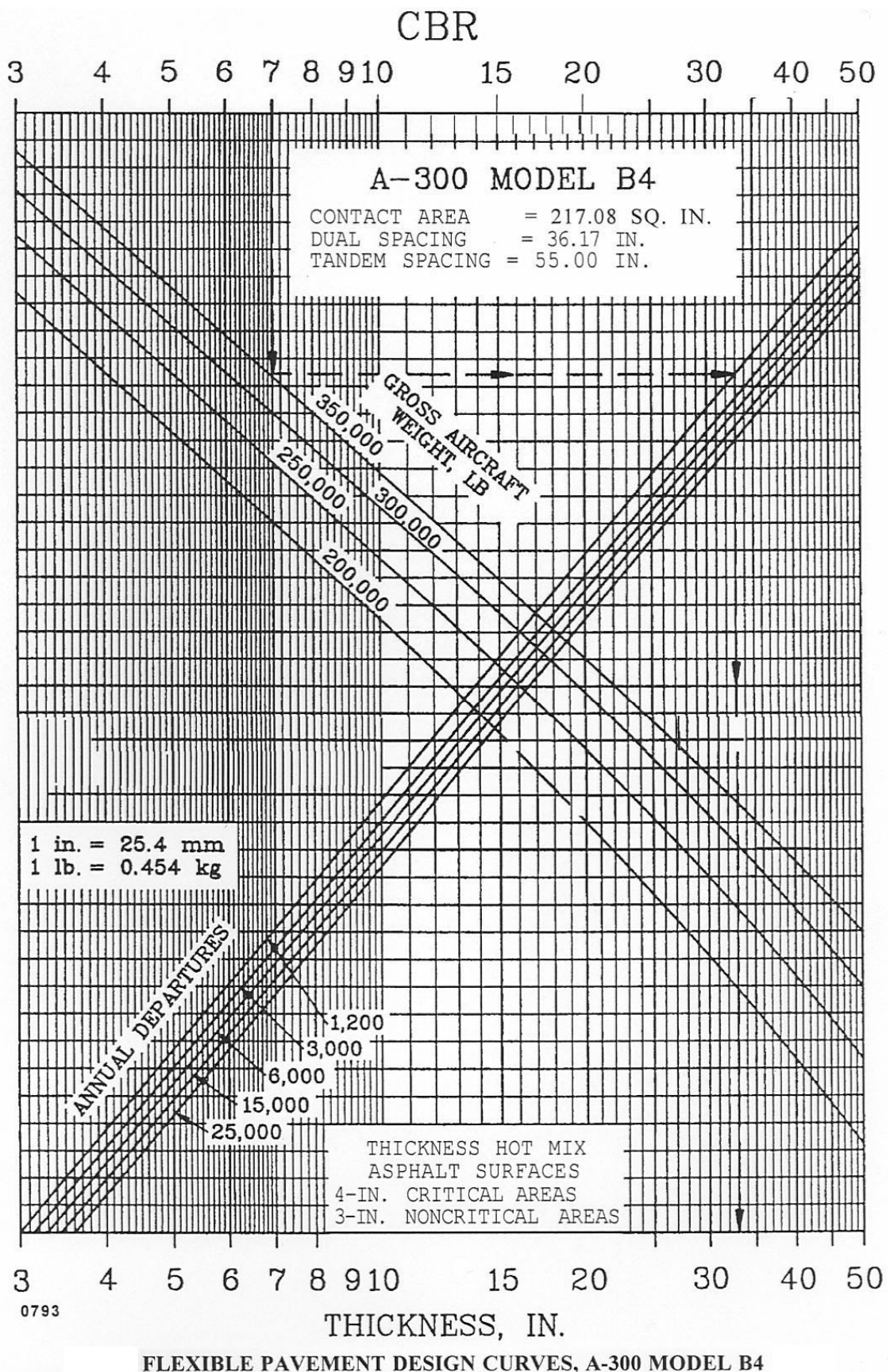
SLIKA 5. Nomogram CBR metode za određivanje debljine savitljive kolničke konstrukcije i težine ekvivalentnog kotača podvozja zrakoplova

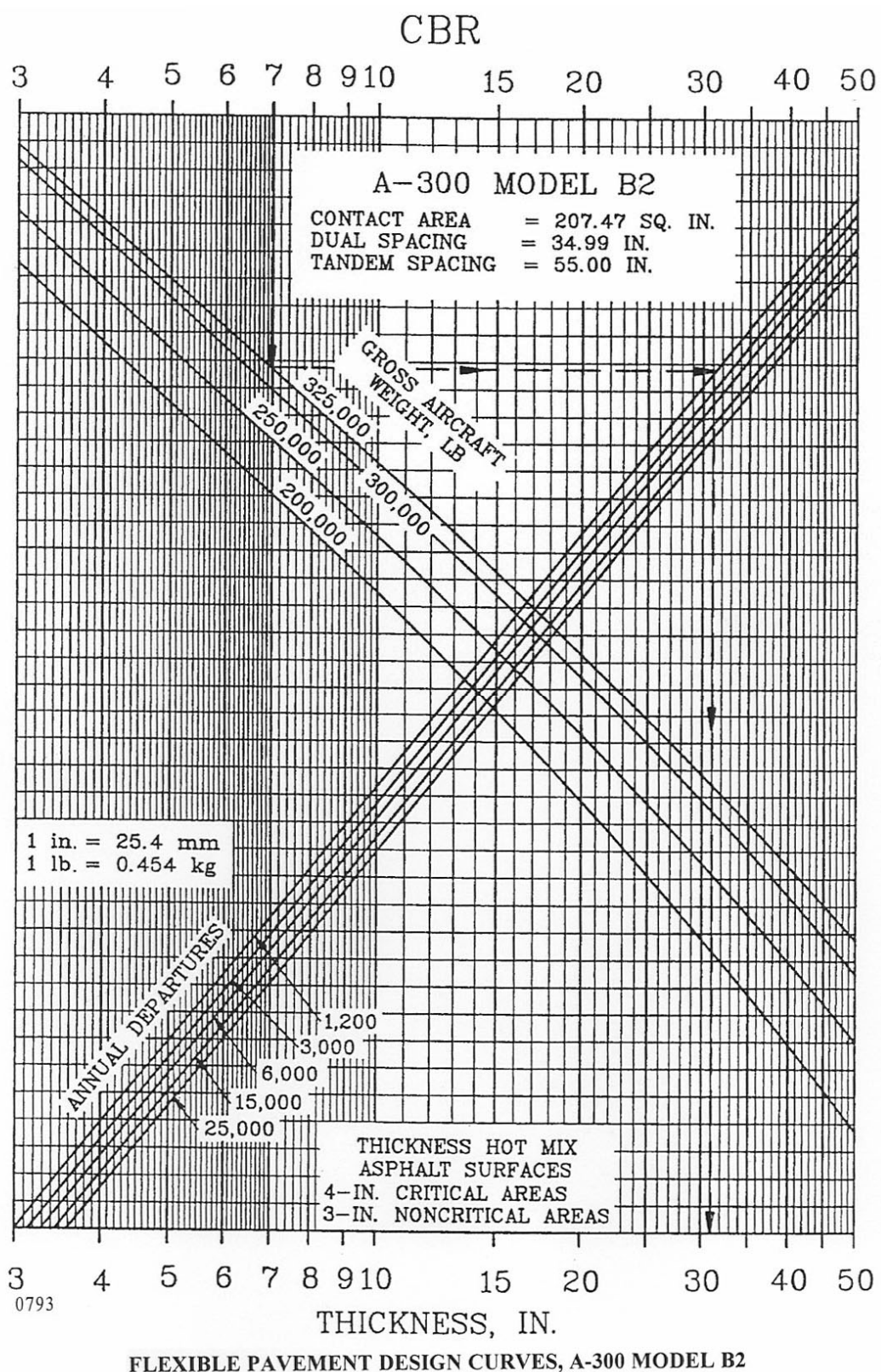


SLIKA 6. Nomogram za određivanje debljine savitljivog kolnika prema LCN

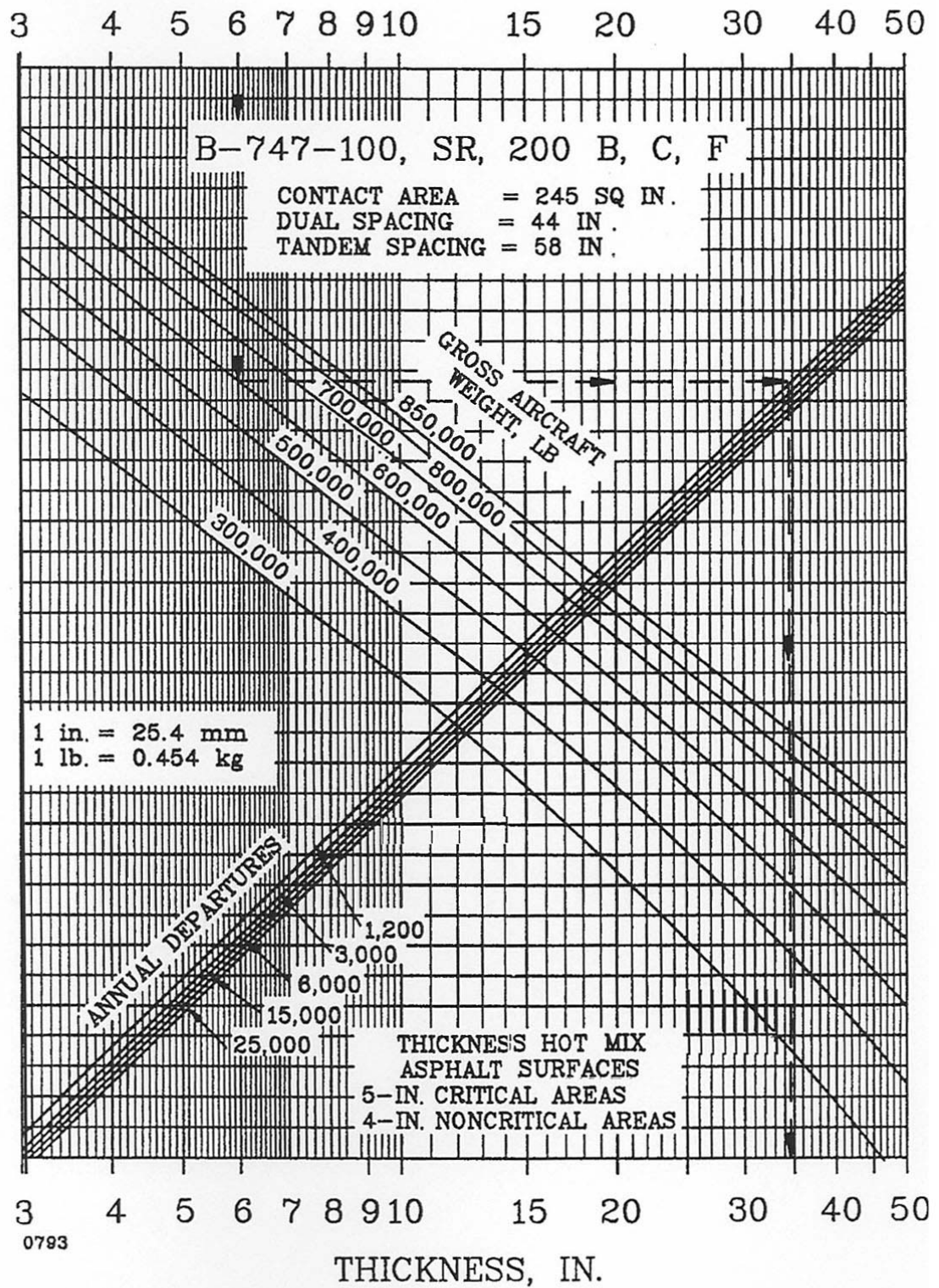


SLIKE 7. Nomogrami za dimenzioniranje kritičnih površina savitljivih kolnika po FAA metodi za širokotrupne zrakoplove



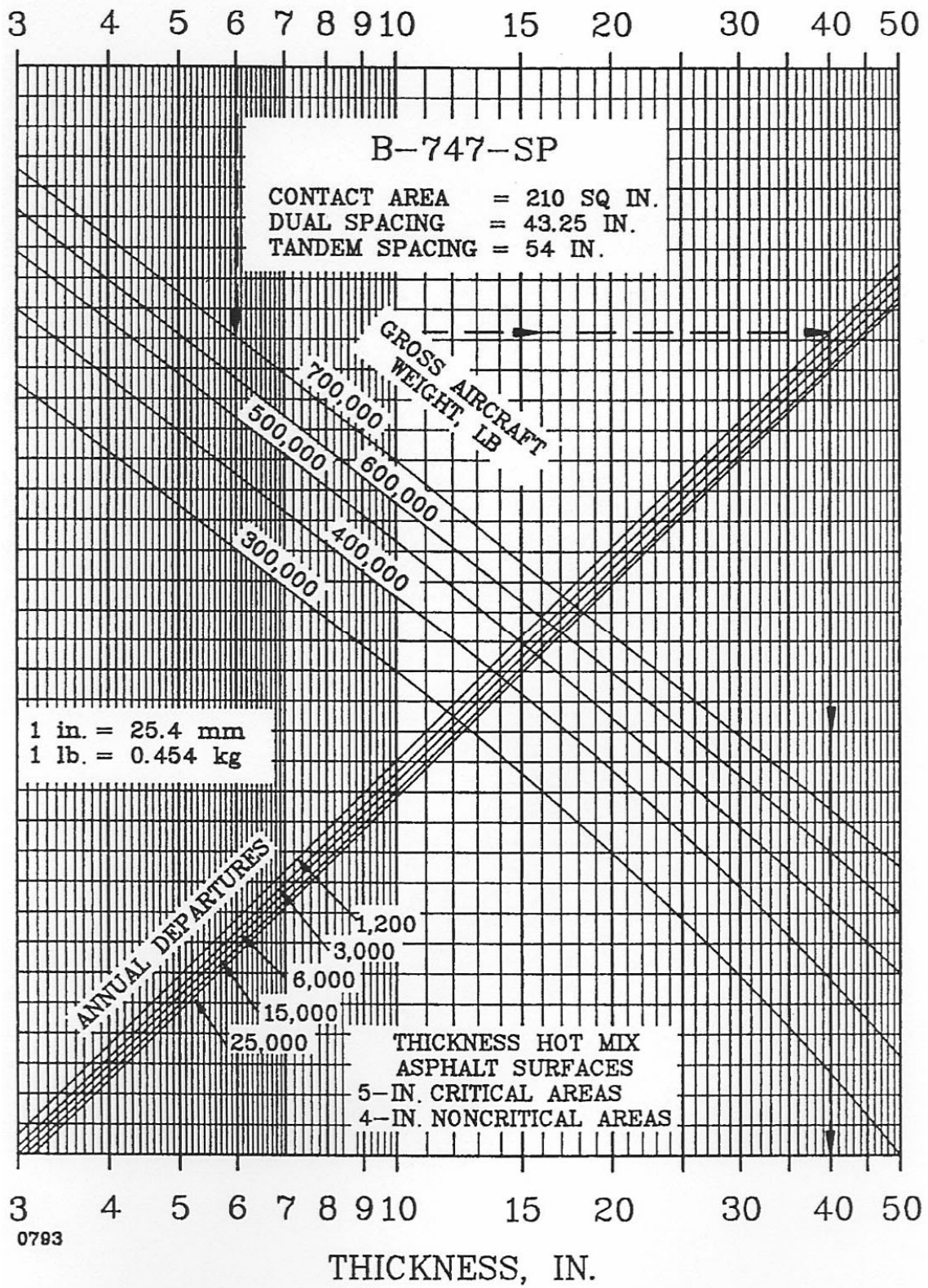


# CBR



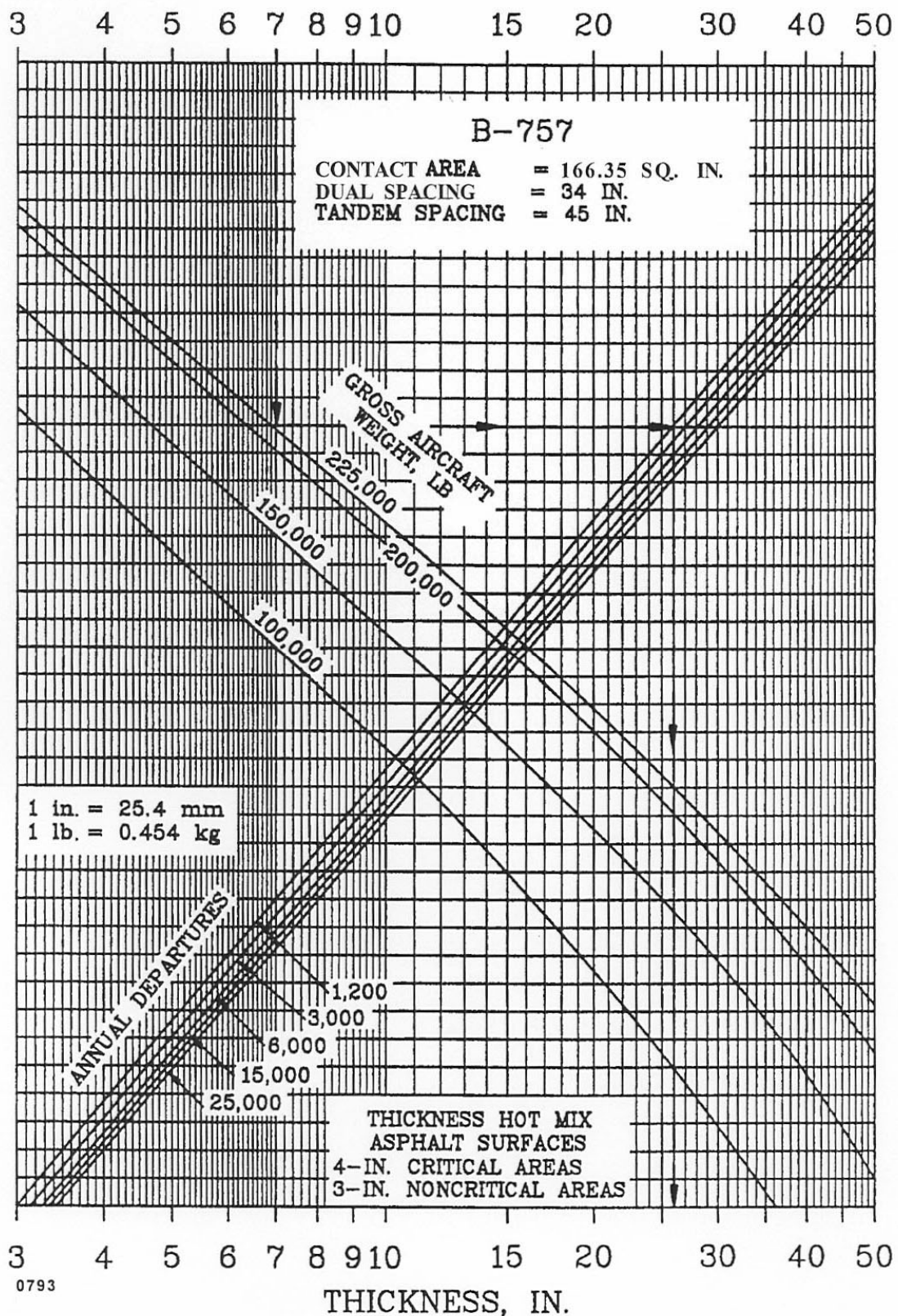
FLEXIBLE PAVEMENT DESIGN CURVES, B-747-100,SR, 200 B, C, F

# CBR



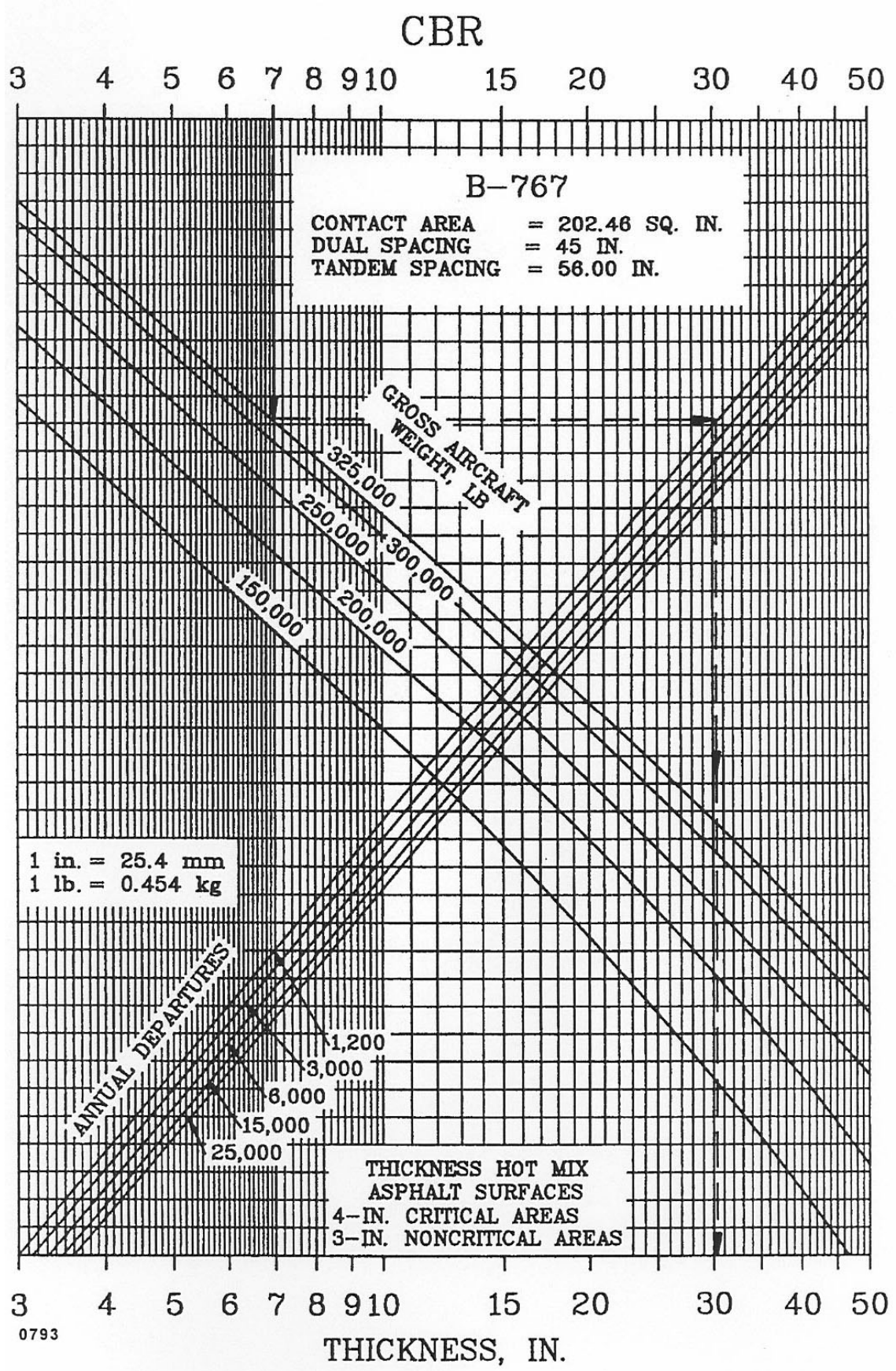
FLEXIBLE PAVEMENT DESIGN CURVES, B-747-SP

# CBR



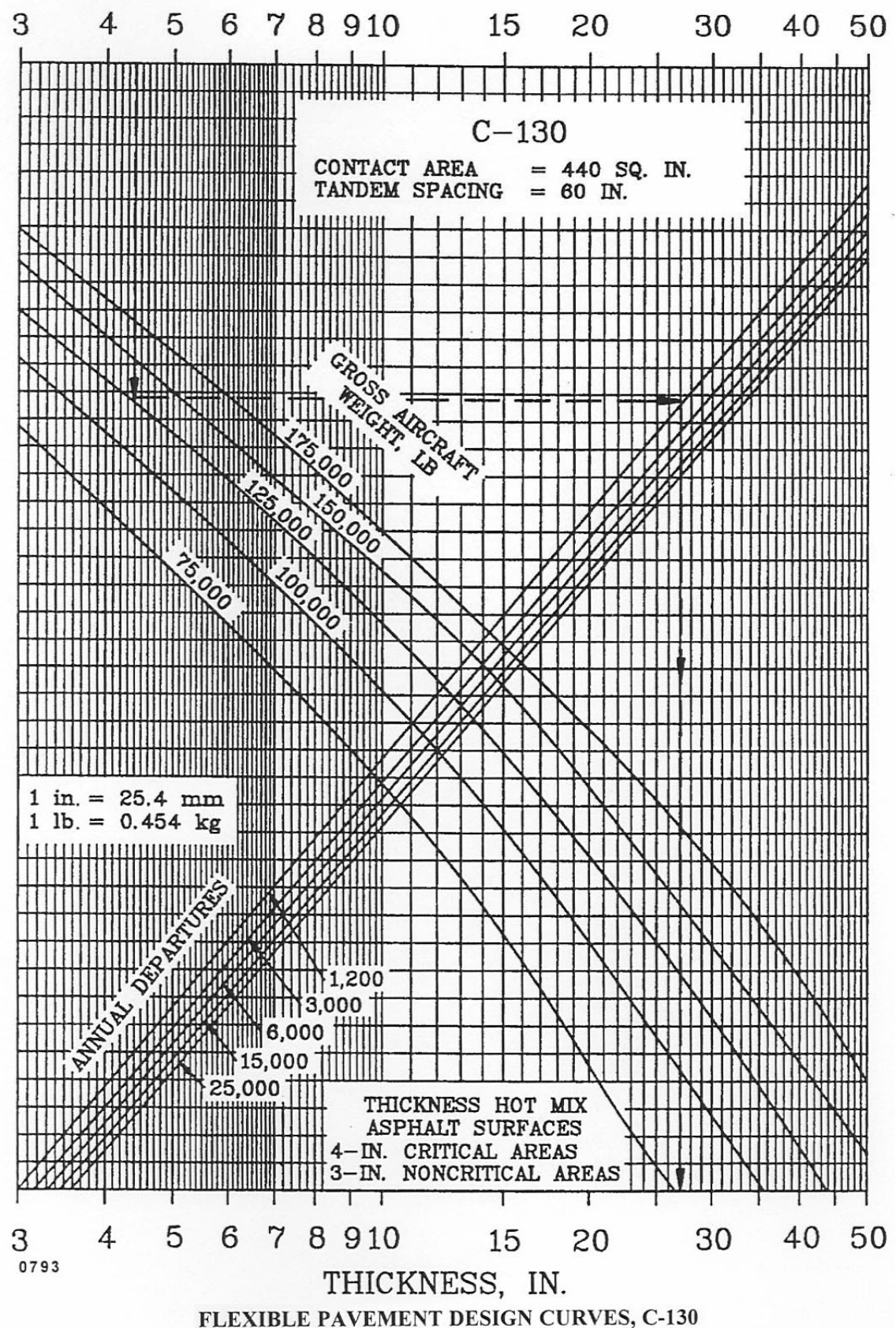
FLEXIBLE PAVEMENT DESIGN CURVES, B-757

0793

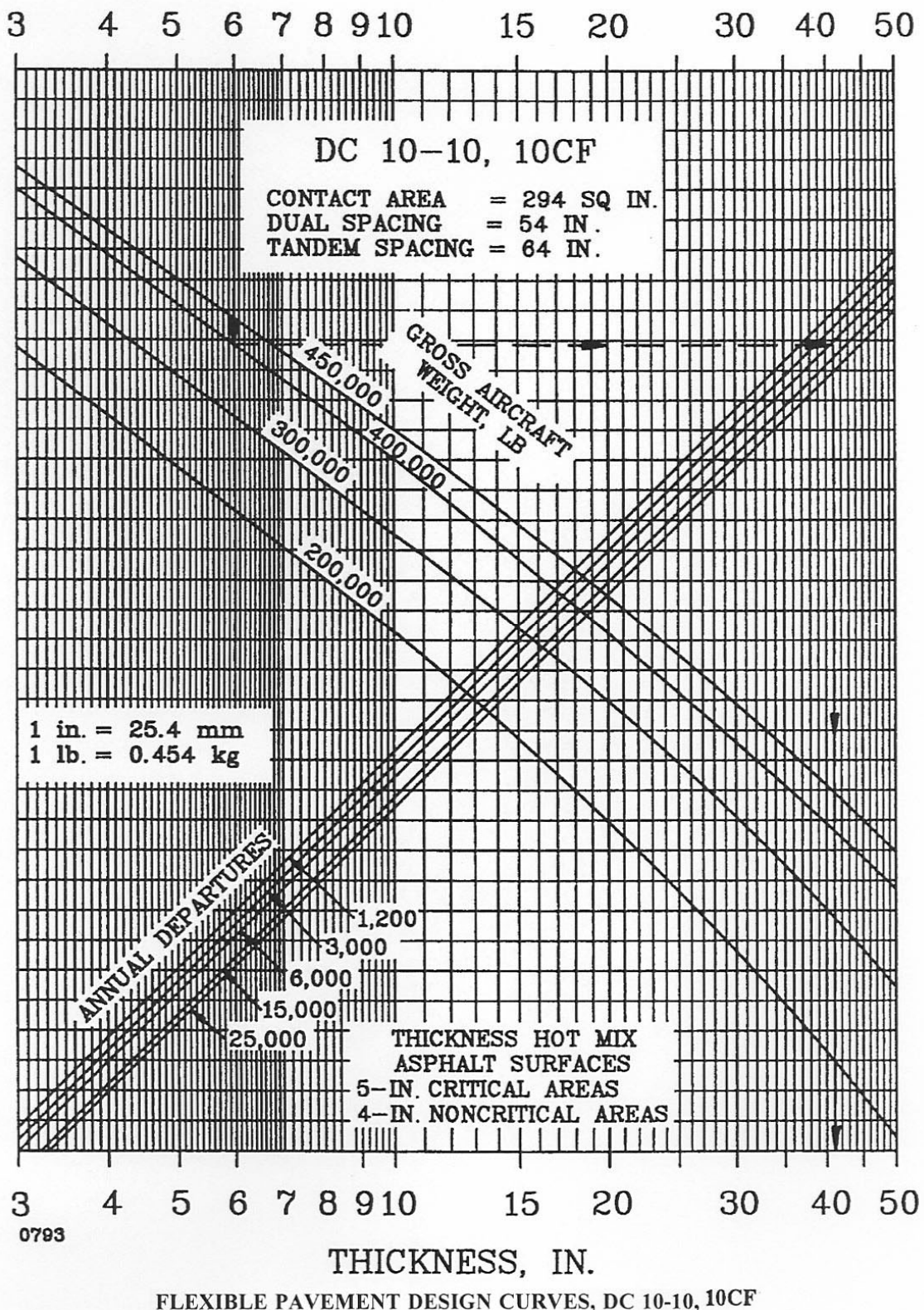


FLEXIBLE PAVEMENT DESIGN CURVES, B-767

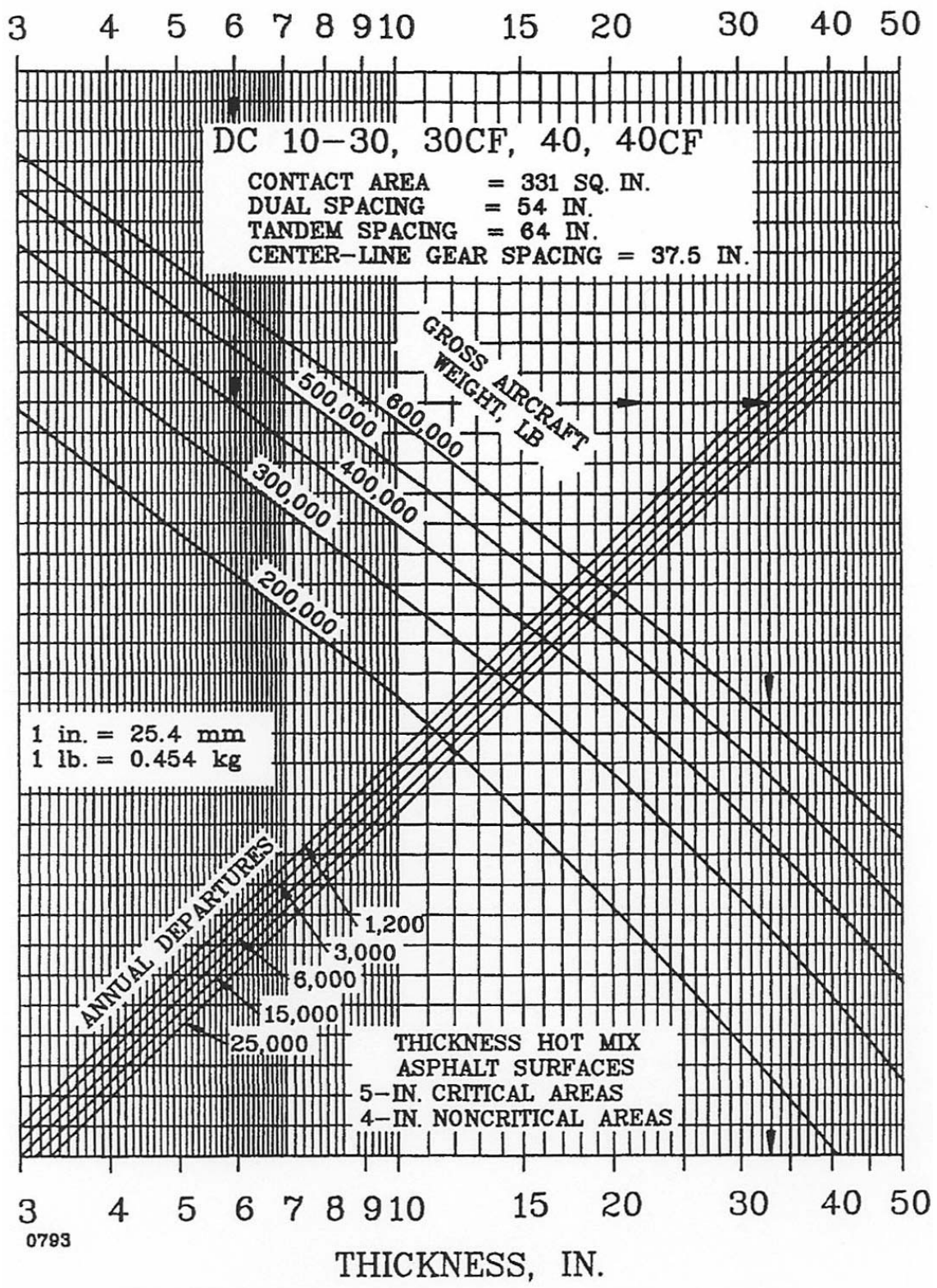
# CBR



# CBR

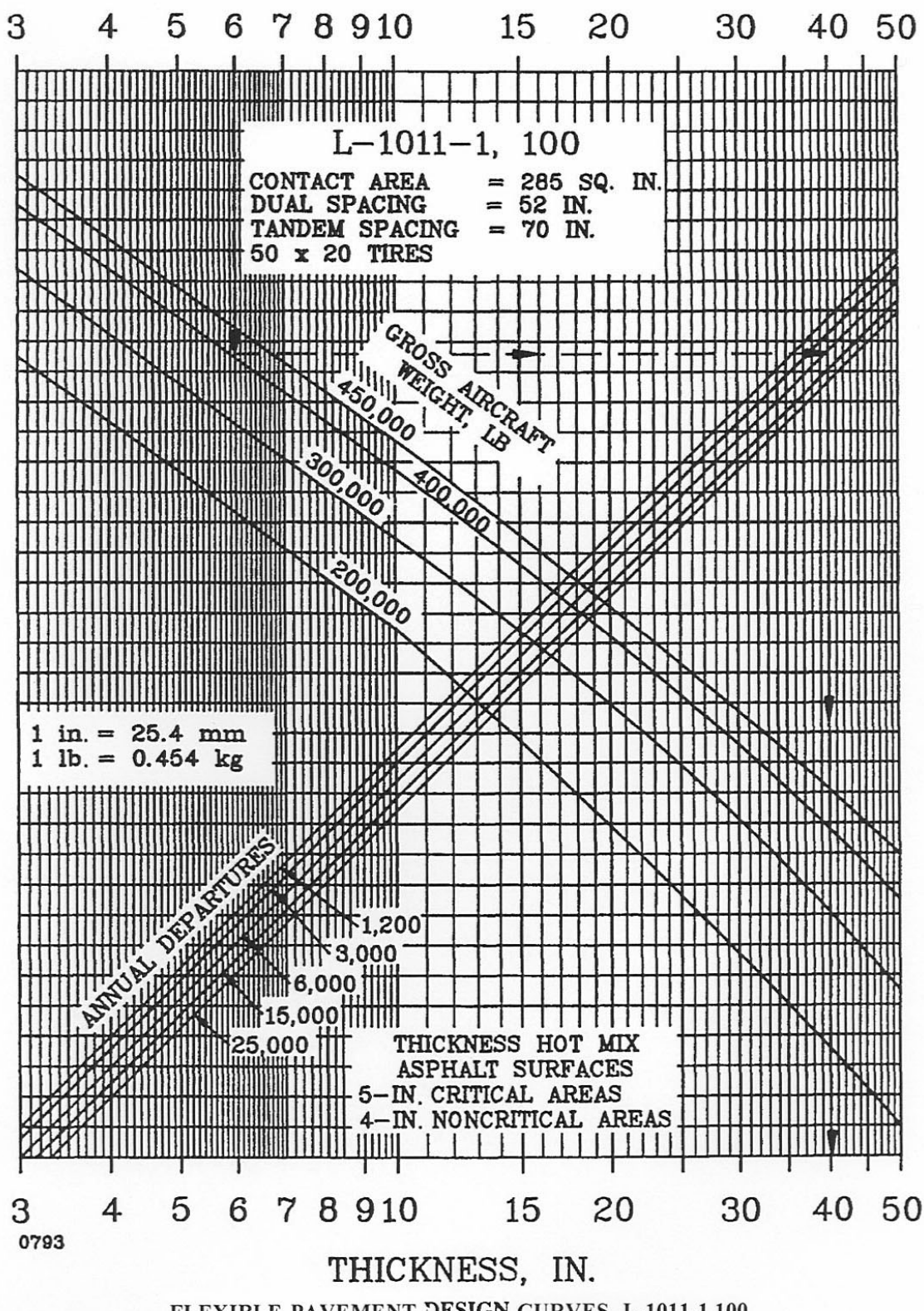


# CBR



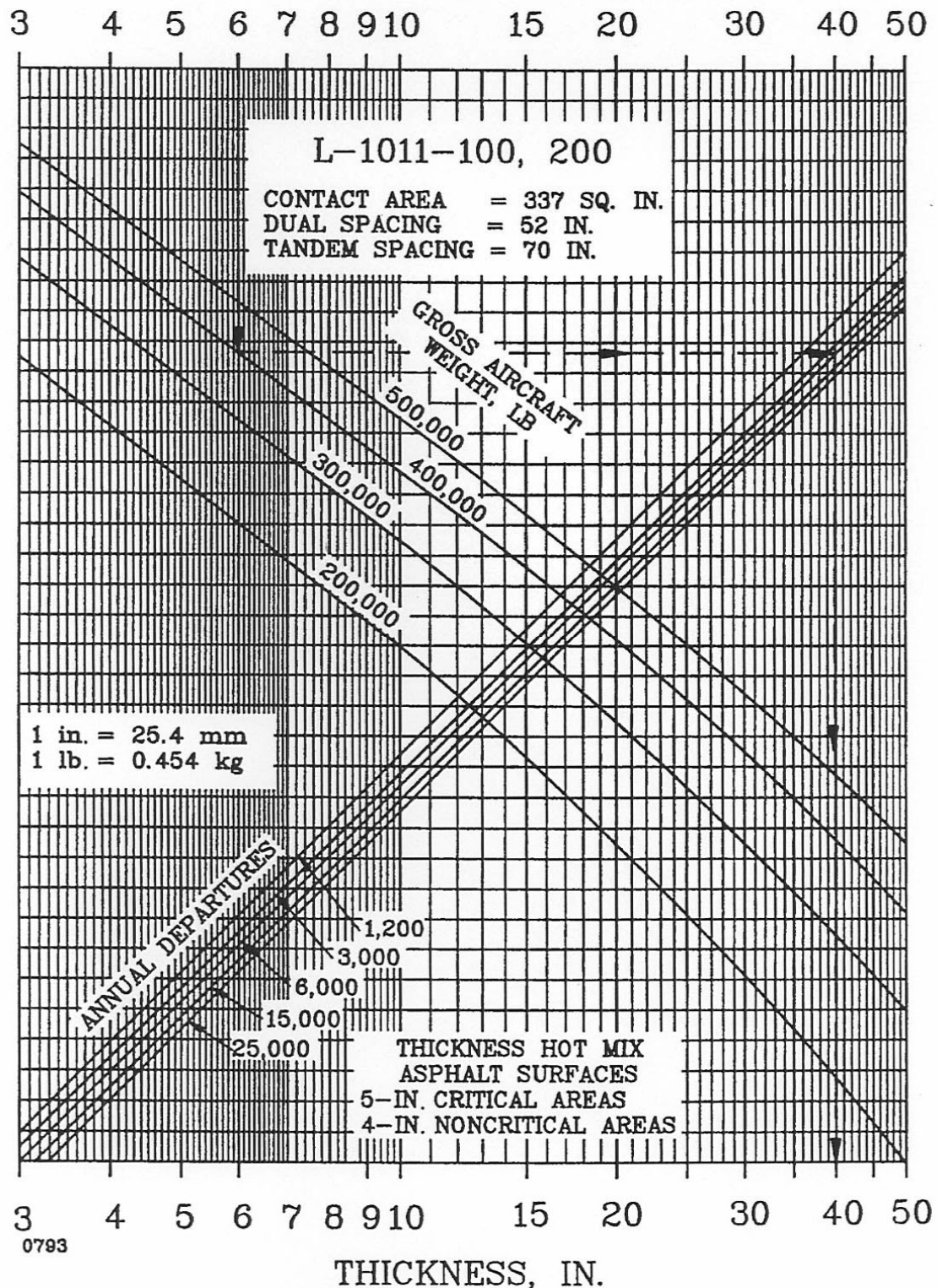
FLEXIBLE PAVEMENT DESIGN CURVES, DC 10-30, 30CF, 40, 40CF

# CBR



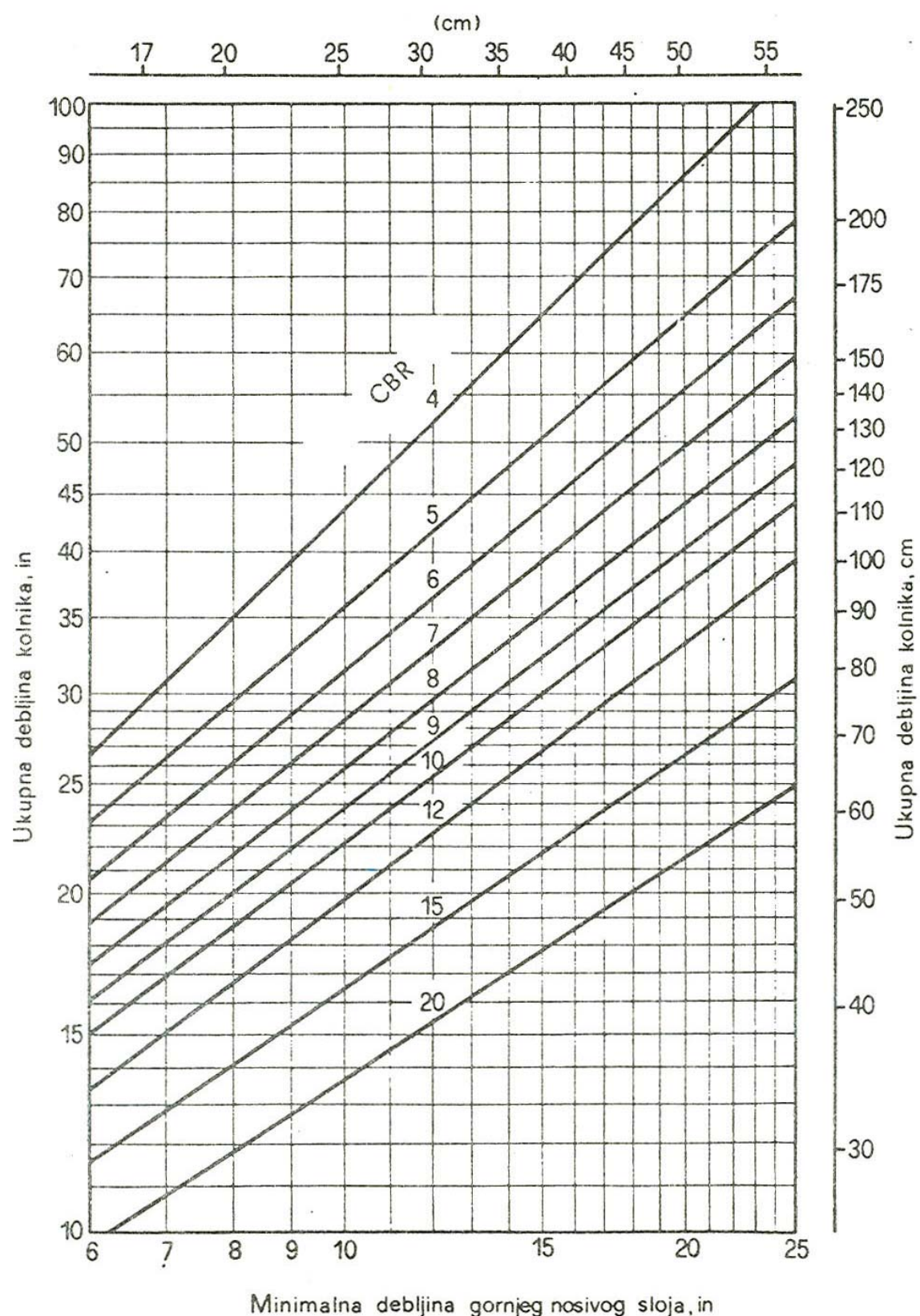
FLEXIBLE PAVEMENT DESIGN CURVES, L-1011-1,100

# CBR

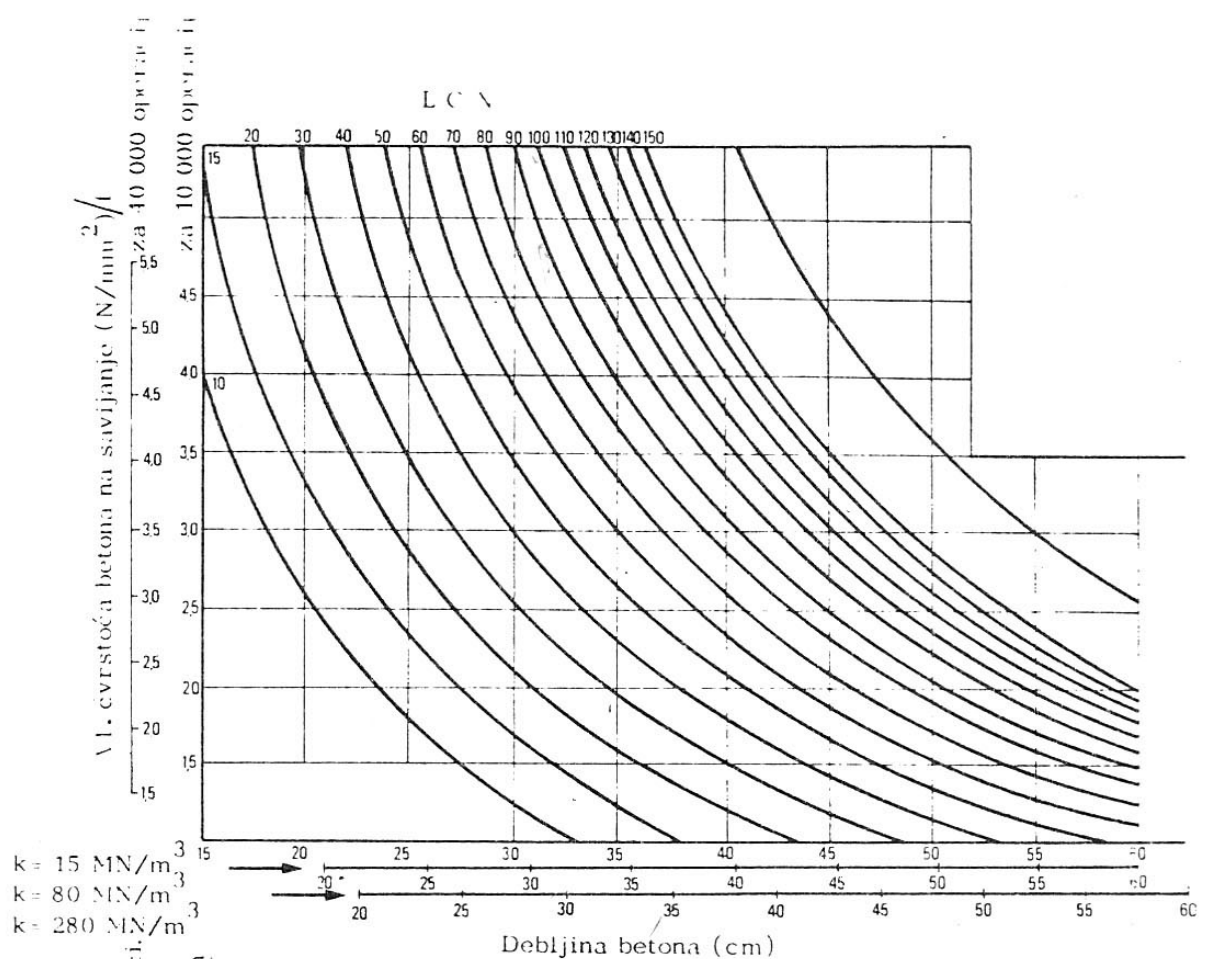


FLEXIBLE PAVEMENT DESIGN CURVES, L-1011, -100,200

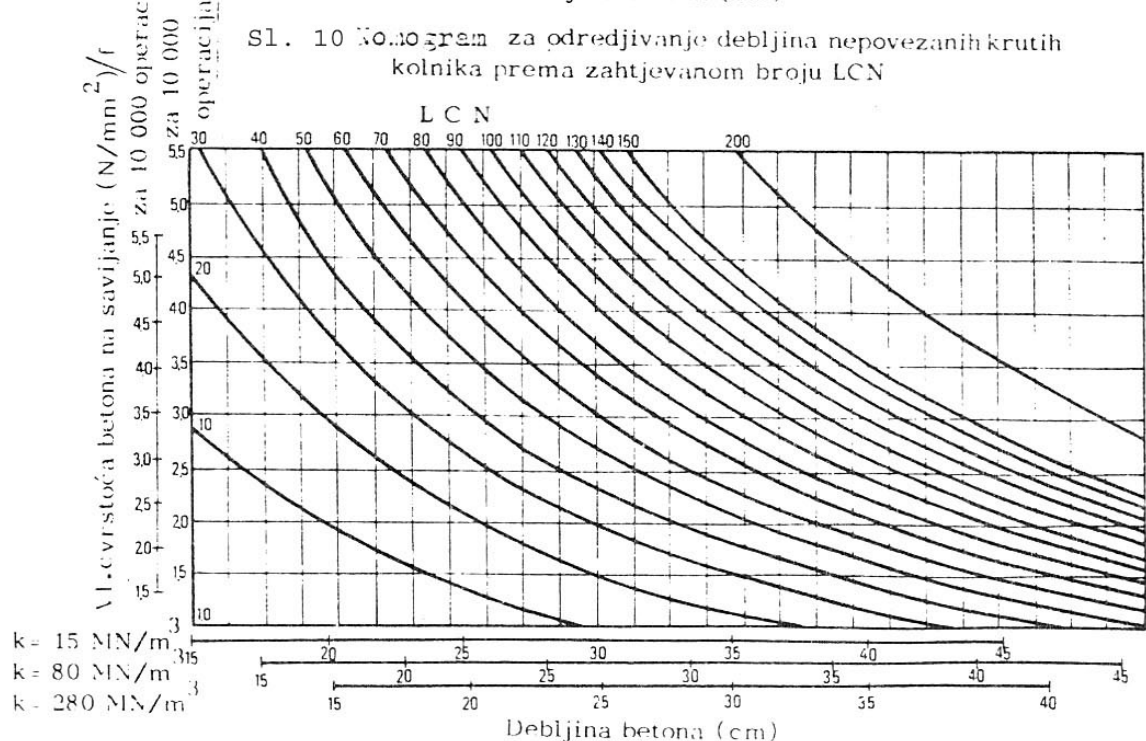
SLIKA 8. Nomogram za određivanje debljine gornjeg nosivog sloja po FAA metodi



SLIKE 10 i 11. Nomogrami za očitavanje debljine betonske ploče po LCN metodi

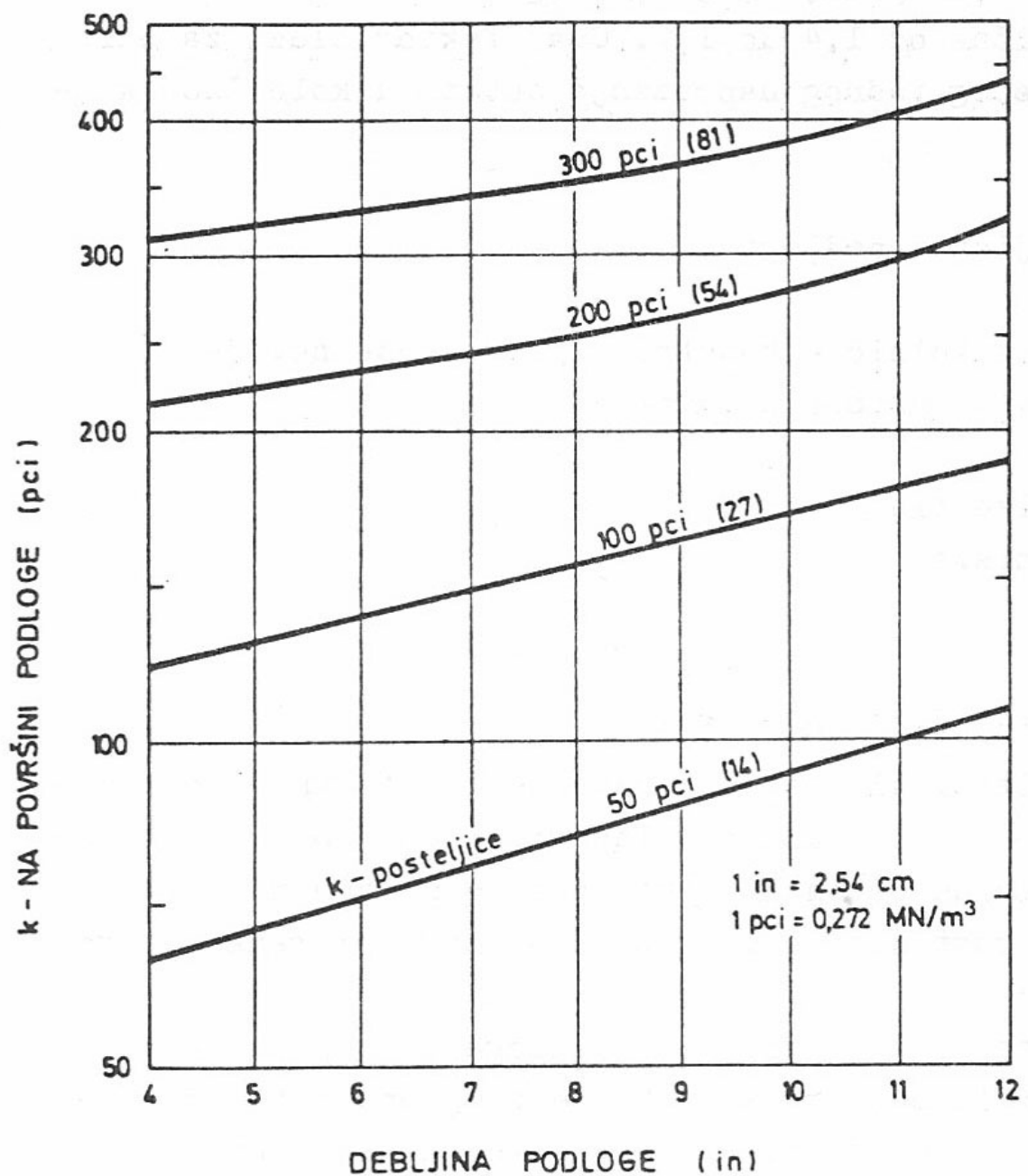


Sl. 10 Nomogram za određivanje debljina nepovezanih krutih kolnika prema zahtjevanom broju LCN

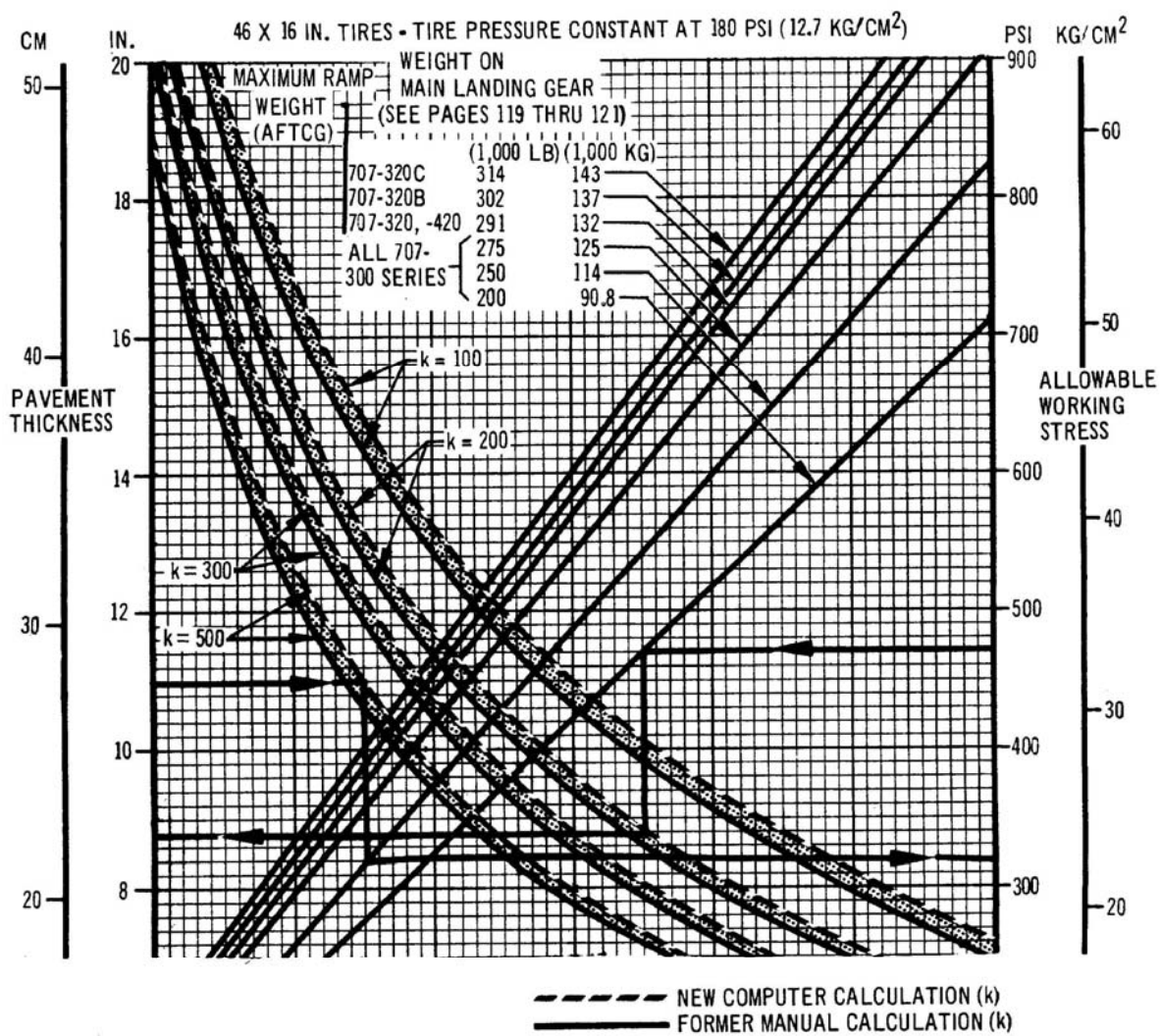


Sl. 11 Nomogram za određivanje debljina armaturno povezanih krutih kolnika prema zahtjevanom broju LCN

SLIKA 12. Nomogram za određivanje debljine podloge krutih kolnika po PCA metodi



SLIKE 13. Nomogrami za određivanje debljine betonske ploče za pojedine zrakoplove po PCA metodi

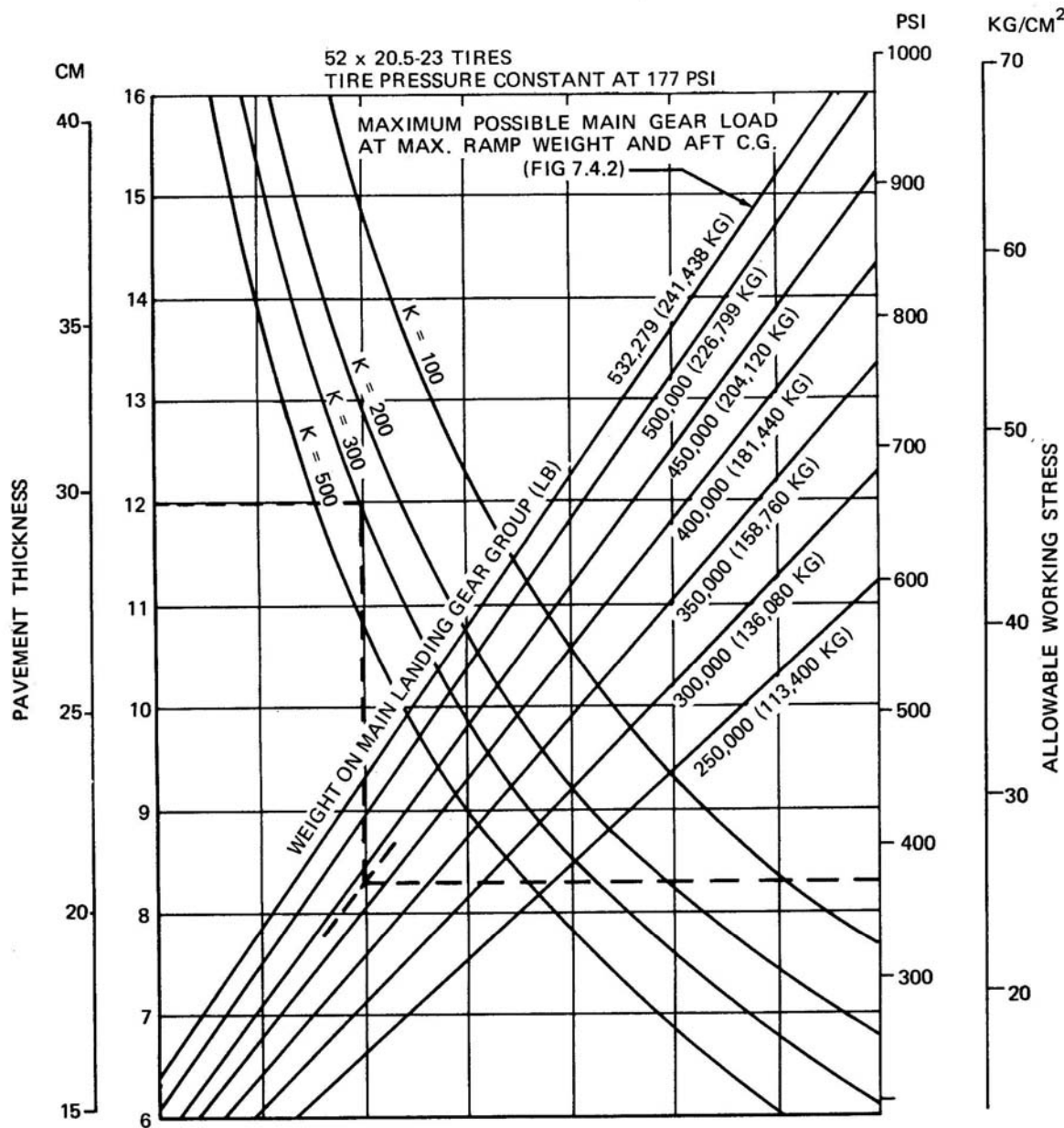


NOTES: THE VALUES OBTAINED BY USING THE MAXIMUM LOAD REFERENCE LINE AND ANY VALUE OF  $k$  ARE EXACT. FOR LOADS LESS THAN MAXIMUM, THE CURVES ARE EXACT FOR  $k = 300$  BUT DEVIATE SLIGHTLY FOR OTHER VALUES OF  $k$ .

REFERENCES: "DESIGN OF CONCRETE AIRPORT PAVEMENT" AND "COMPUTER PROGRAM FOR AIRPORT PAVEMENT DESIGN" (PROGRAM PDILB) PORTLAND CEMENT ASSN

NOTICE: DUE TO CHANGES PER NEW COMPUTER METHOD, VALUES OF STRESS ARE HIGHER THAN OBTAINED BY FORMER STANDARD MANUAL METHOD. (SEE PAGE 125)

RIGID PAVEMENT REQUIREMENTS -  
PORTLAND CEMENT ASSOCIATION DESIGN METHOD  
MODELS 707-320, -320B, -320C, -420



NOTE: THE VALUES OBTAINED BY USING THE MAXIMUM LOAD REFERENCE LINE AND ANY VALUES OF K ARE EXACT. FOR LOADS LESS THAN MAXIMUM, THE CURVES ARE EXACT FOR K = 300, BUT DEVIATE SLIGHTLY FOR OTHER VALUES OF K.

REFERENCE: "DESIGN OF CONCRETE AIRPORT PAVEMENT," 1968 PORTLAND CEMENT ASSOCIATION COMPUTER PROGRAM

### 7.7.2 RIGID PAVEMENT REQUIREMENTS, PORTLAND CEMENT ASSOCIATION DESIGN METHOD MODEL DC-10 SERIES 30, 30CF, 40 AND 40CF WING GEAR

SLIKA 14. Nomogram za određivanje debljine betonske ploče po FAA metodi za prijenos opterećenja preko jednostrukog kotača

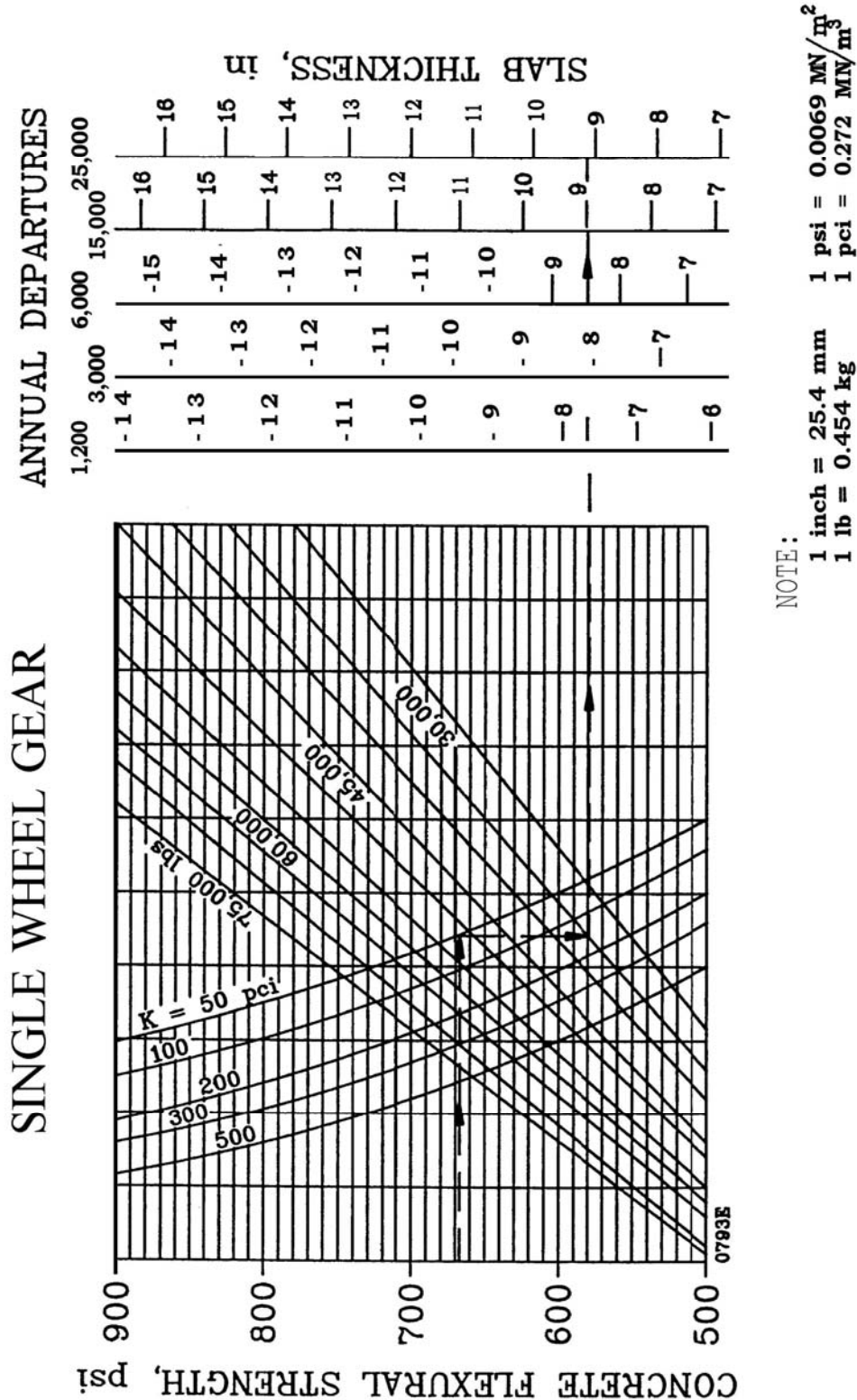


FIGURE 3-17. RIGID PAVEMENT DESIGN CURVES, SINGLE WHEEL GEAR

SLIKA 15. Nomogram za određivanje debljine betonske ploče po FAA metodi za prijenos opterećenja preko dvostrukog kotača

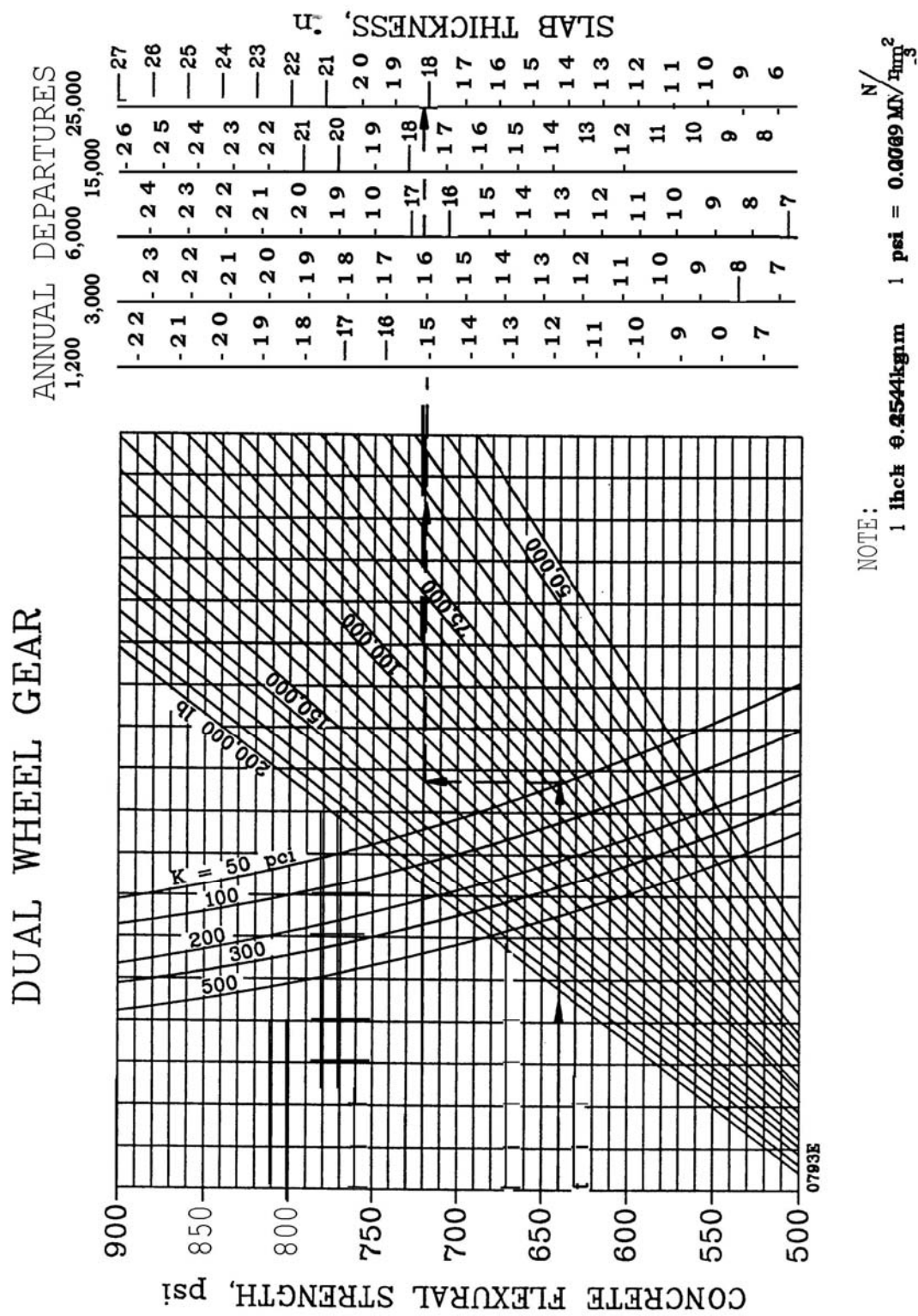


FIGURE 3-18. RIGID PAVEMENT DESIGN CURVES, DUAL WHEEL GEAR

SLIKA 16. Nomogram za određivanje debljine betonske ploče po FAA metodi za prijenos opterećenja preko dvostrukog tandem kotača

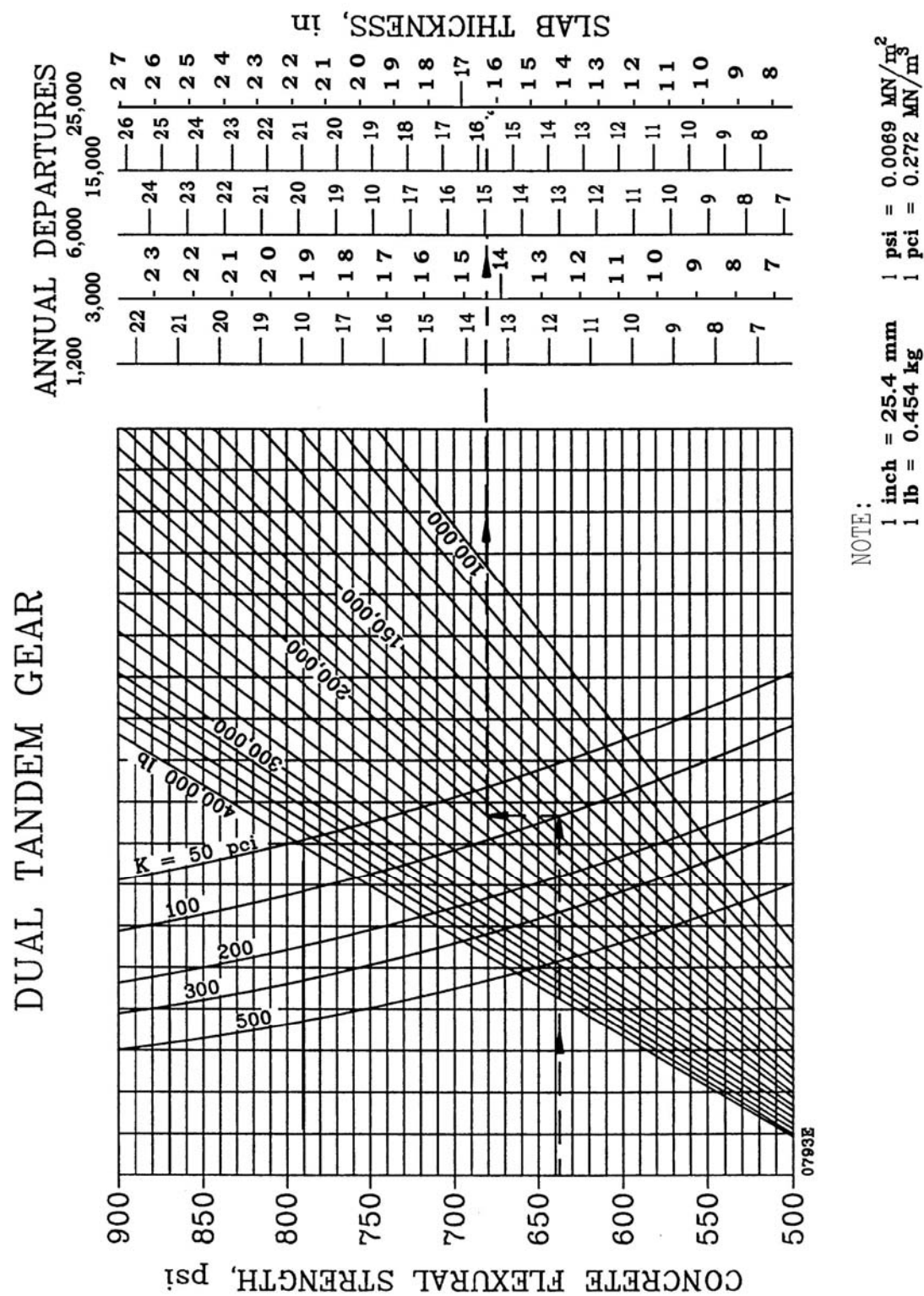


FIGURE 3-19. RIGID PAVEMENT DESIGN CURVES, DUAL TANDEM GEAR

SLIKA 17. Nomogram za određivanje debljine betonske ploče po FAA metodi za širokotrupne zrakoplove

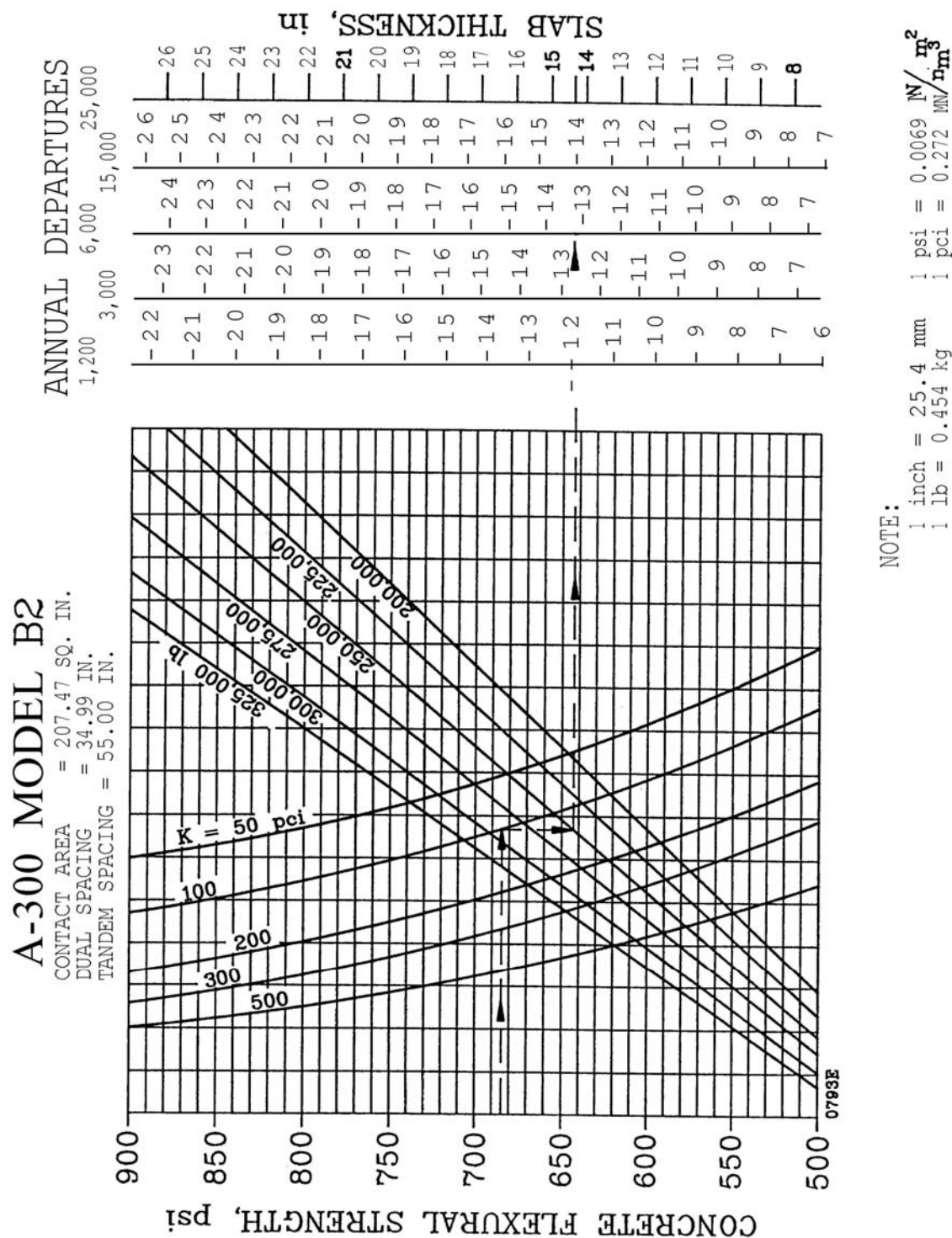


FIGURE 3-20. RIGID PAVEMENT DESIGN CURVES, A-300 MODEL B2

SLIKA 18. Nomogram za određivanje debljine betonske ploče po FAA metodi za širokotrupne zrakoplove

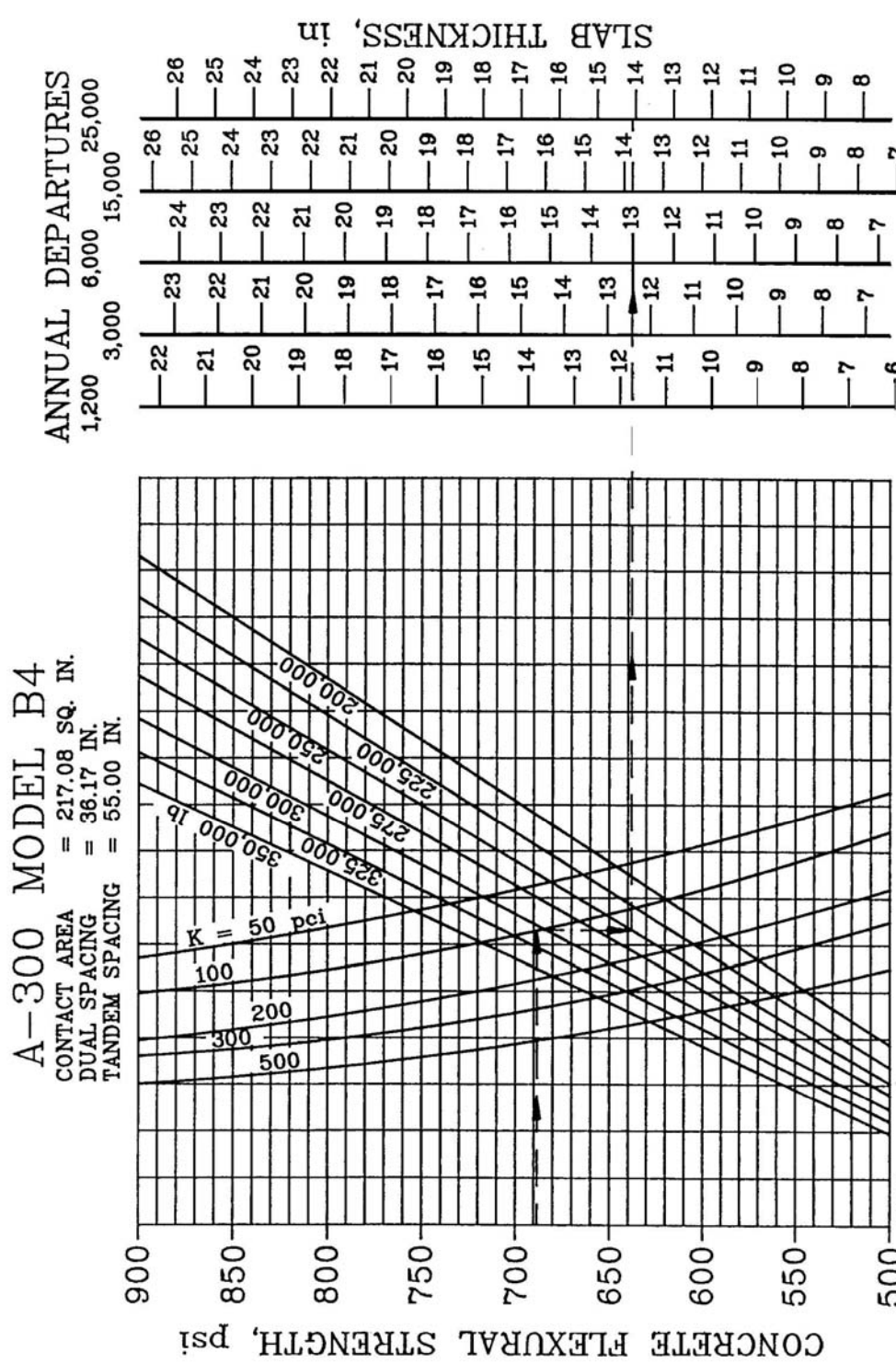


FIGURE 3-21. RIGID PAVEMENT DESIGN CURVES, A-300 MODEL B4

SLIKA 19. Nomogram za određivanje debljine betonske ploče po FAA metodi za širokotrupne zrakoplove

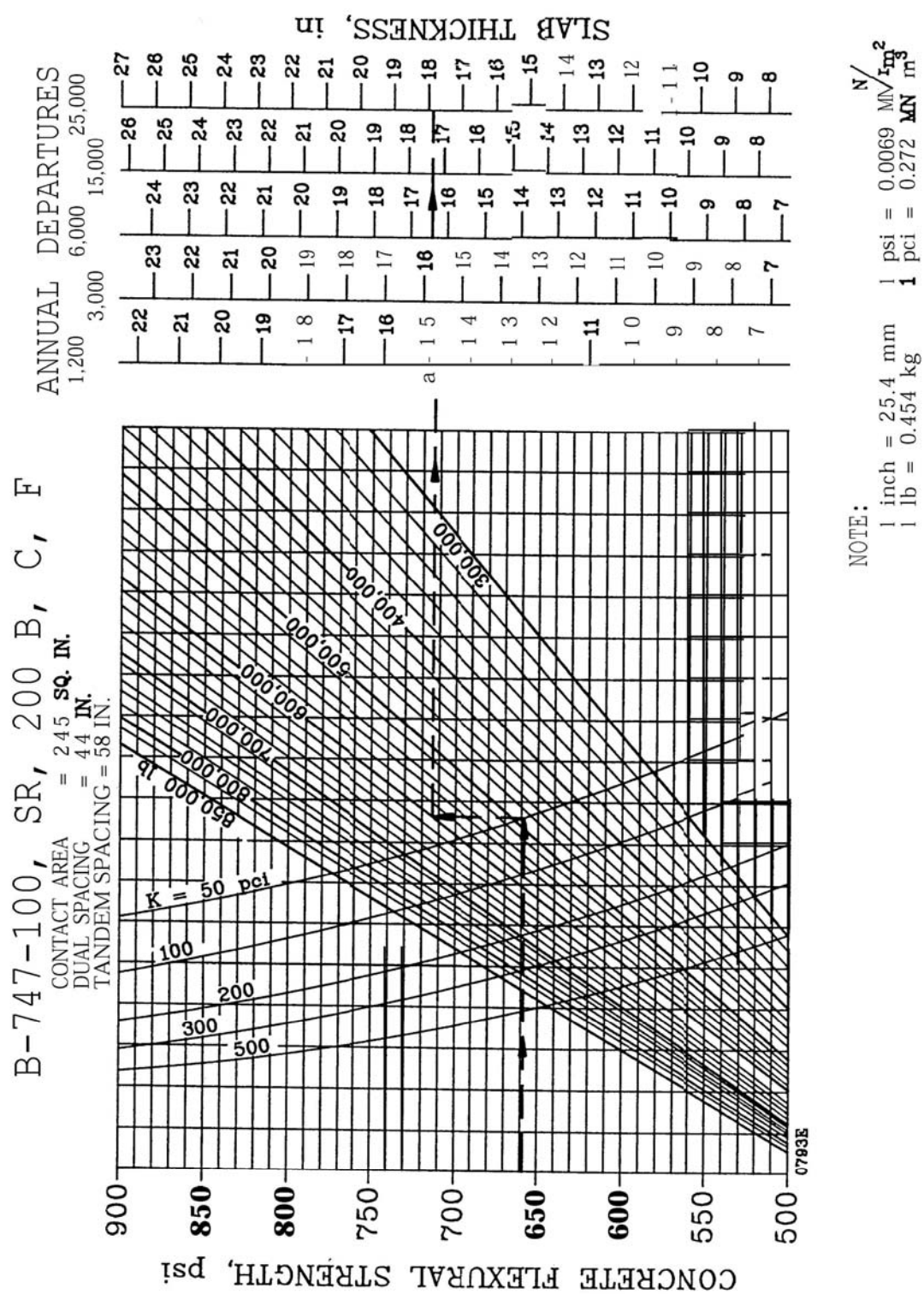


FIGURE 3-22. RIGID PAVEMENT DESIGN CURVES, B-747-100, SR, 200 B, C, F

SLIKA 20. Nomogram za određivanje debljine betonske ploče po FAA metodi za širokotrupne zrakoplove

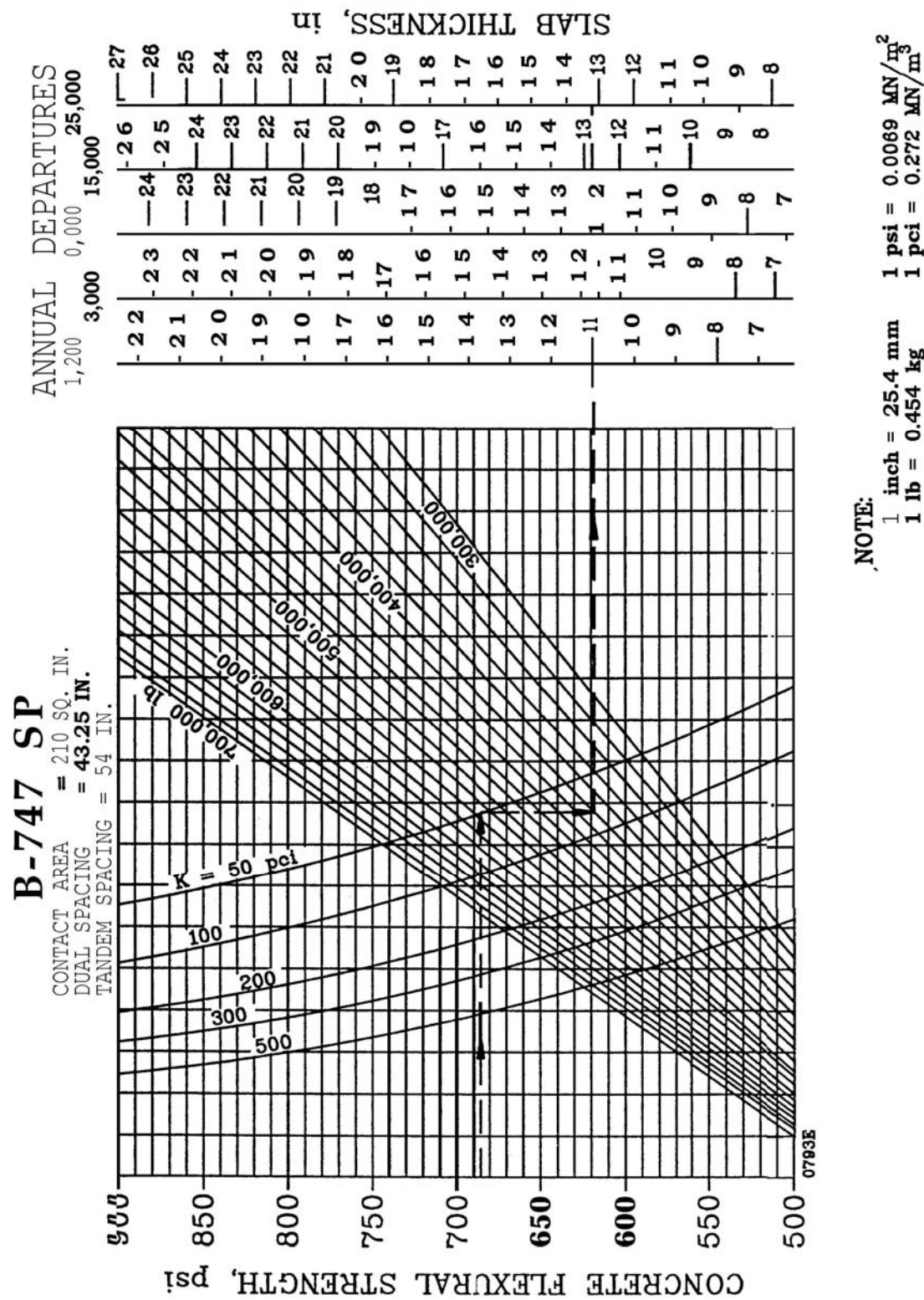


FIGURE 3-23. RIGID PAVEMENT DESIGN CURVES, B-747-SP

SLIKA 21. Nomogram za određivanje debljine betonske ploče po FAA metodi za širokotrupne zrakoplove

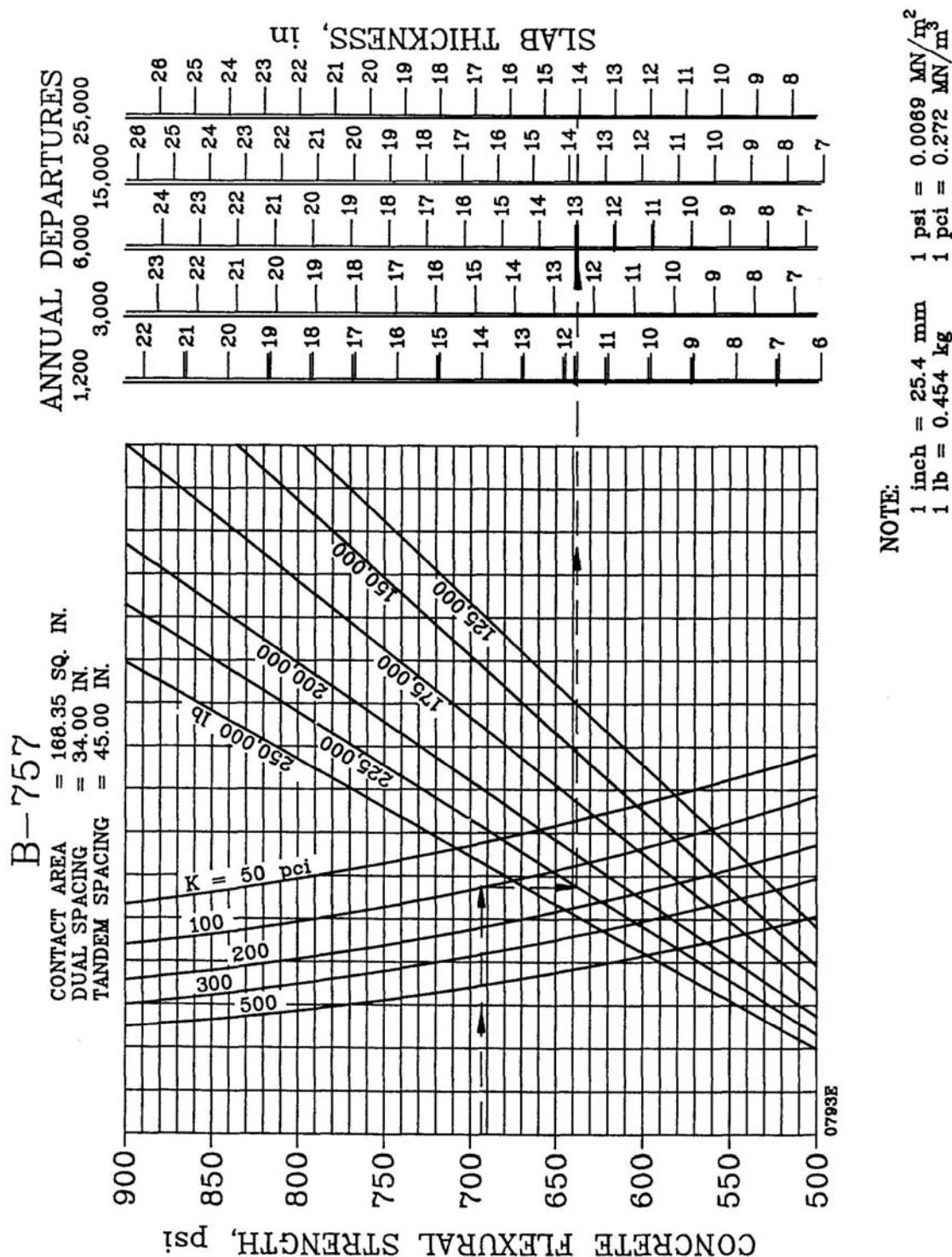


FIGURE 3-24. RIGID PAVEMENT DESIGN CURVES, B-757

SLIKA 22. Nomogram za određivanje debljine betonske ploče po FAA metodi za širokotrupne zrakoplove

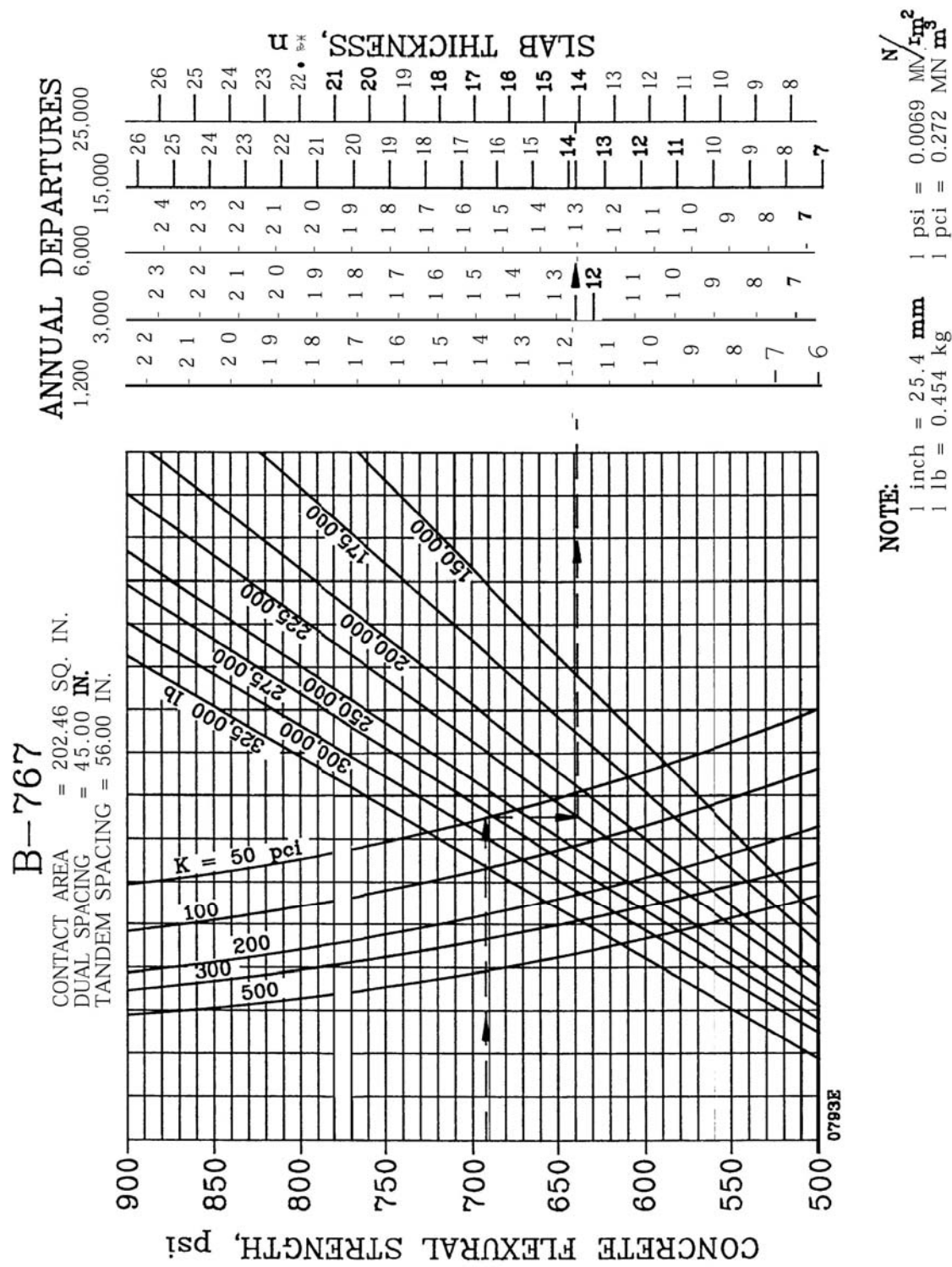
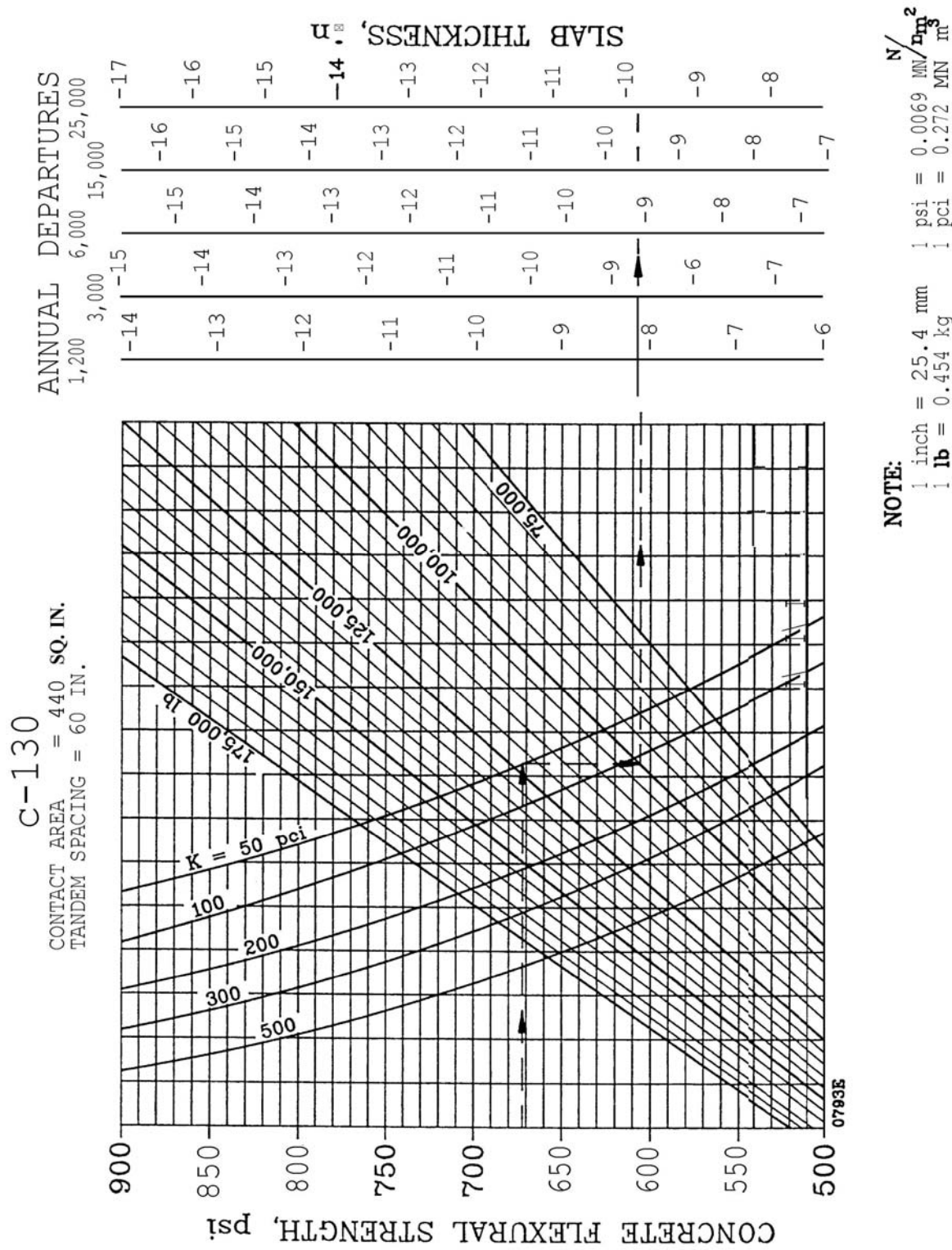


FIGURE 3-25. RIGID PAVEMENT DESIGN CURVES, B-767

SLIKA 23. Nomogram za određivanje debljine betonske ploče po FAA metodi za širokotrupne zrakoplove



SLIKA 24. Nomogram za određivanje debljine betonske ploče po FAA metodi za širokotrupne zrakoplove

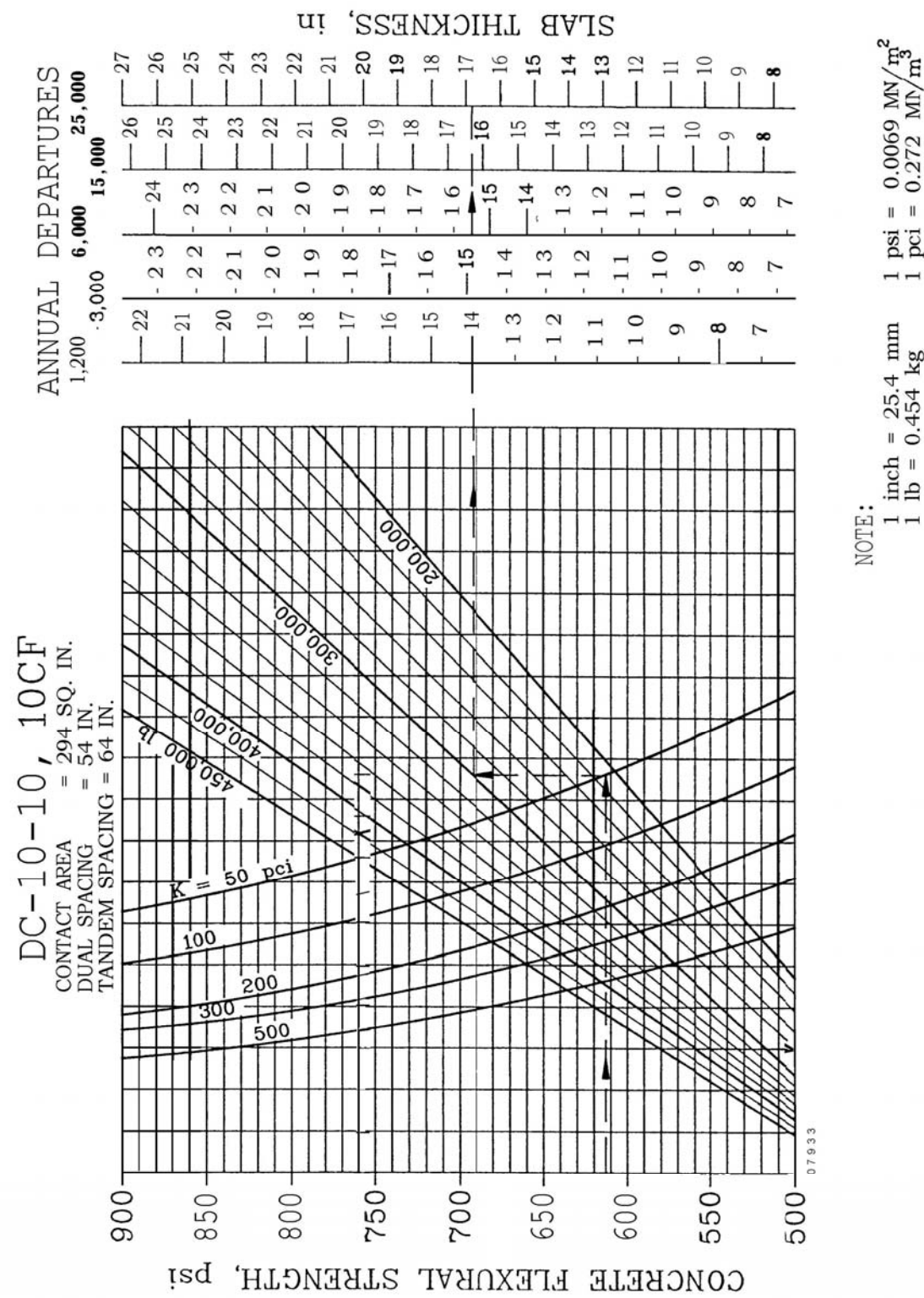


FIGURE 3-27. RIGID PAVEMENT DESIGN CURVES, DC 10-10, 10CF

SLIKA 25. Nomogram za određivanje debljine betonske ploče po FAA metodi za širokotrupne zrakoplove

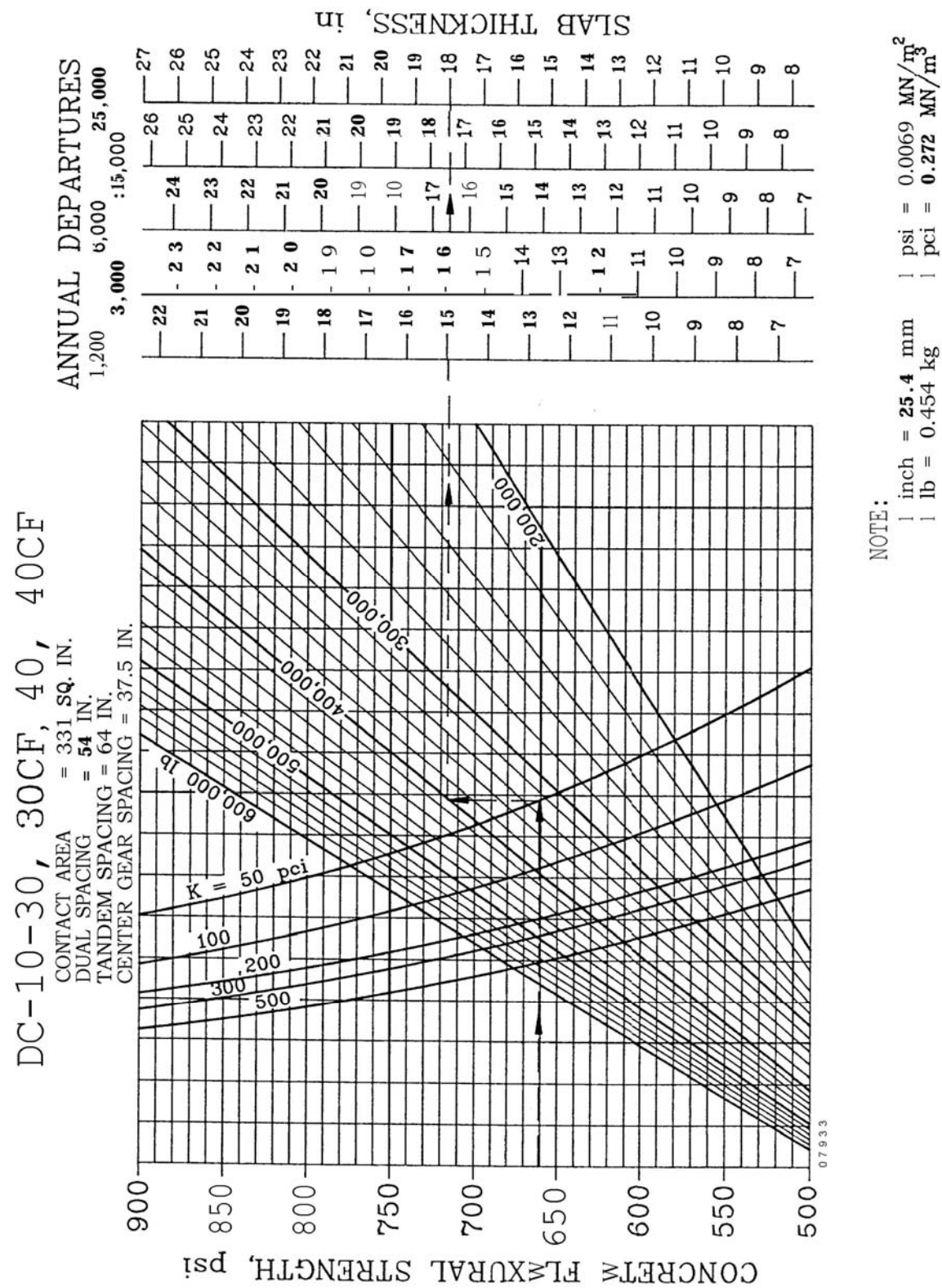


FIGURE 3-28. RIGID PAVEMENT DESIGN CURVES, DC 10-30, 30CF, 40, 40CF

SLIKA 26. Nomogram za određivanje debljine betonske ploče po FAA metodi za širokotrupne zrakoplove

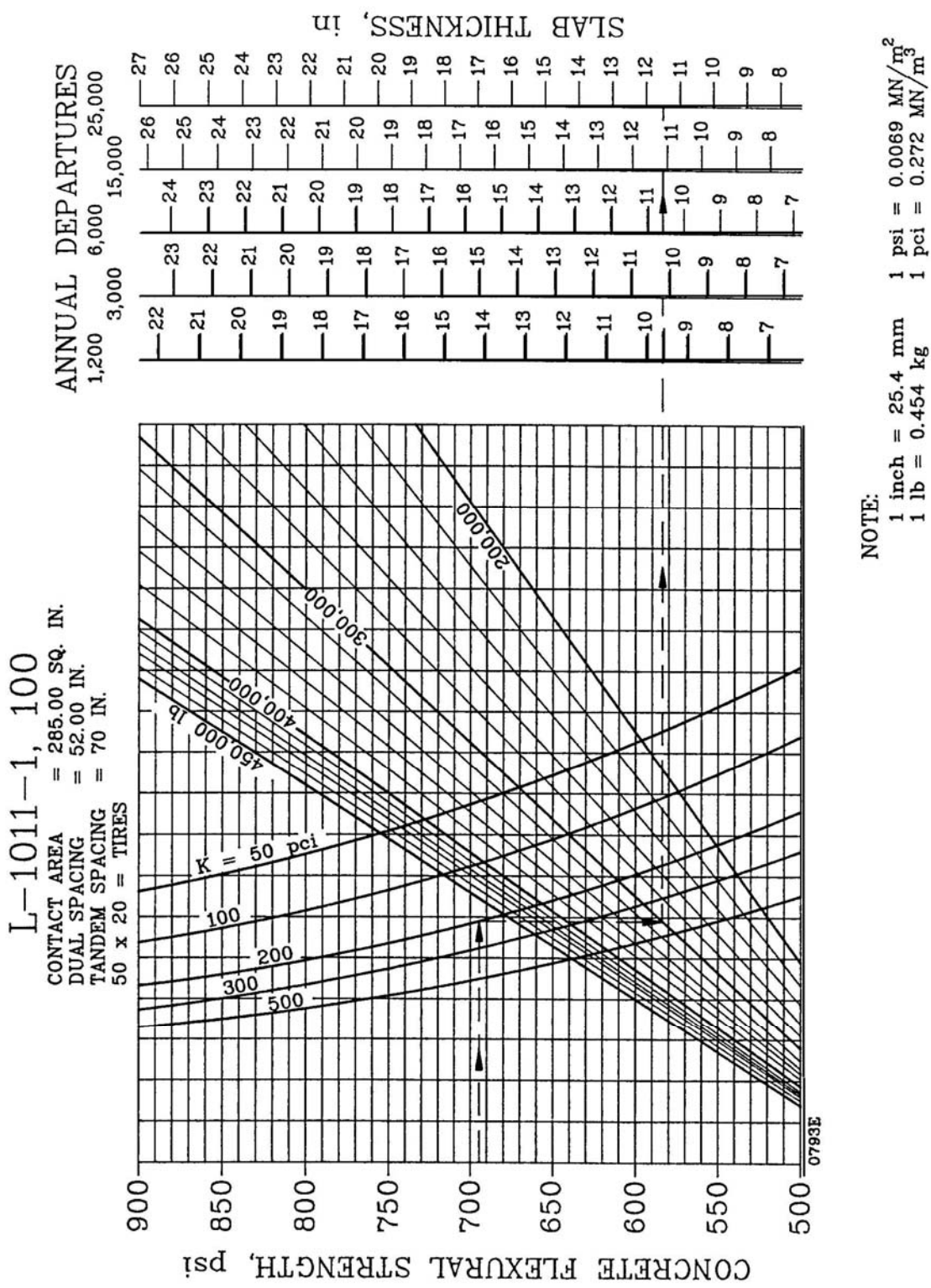


FIGURE 3-29. RIGID PAVEMENT DESIGN CURVES, L-1011-1, 100

SLIKA 27. Nomogram za određivanje debljine betonske ploče po FAA metodi za širokotrupne zrakoplove

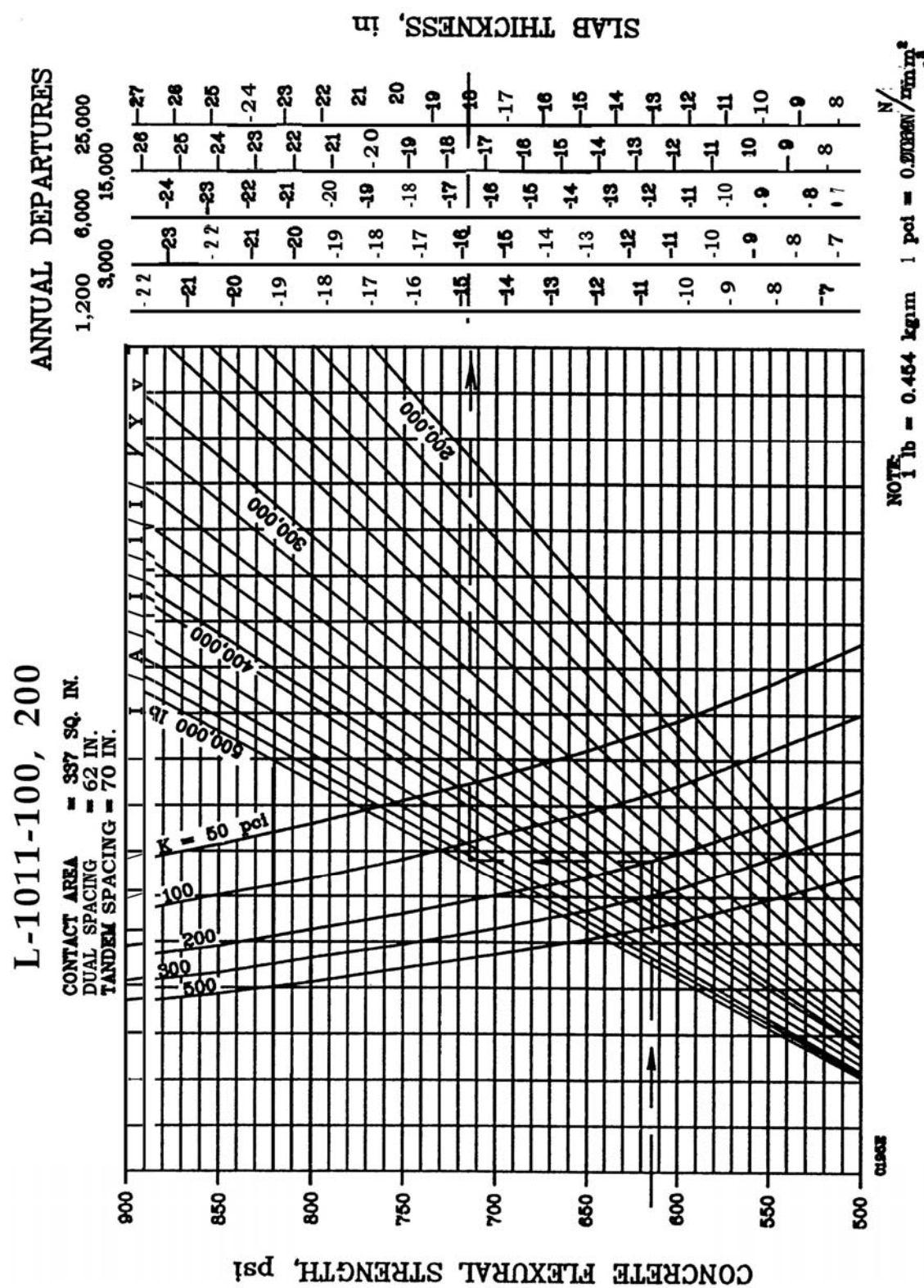
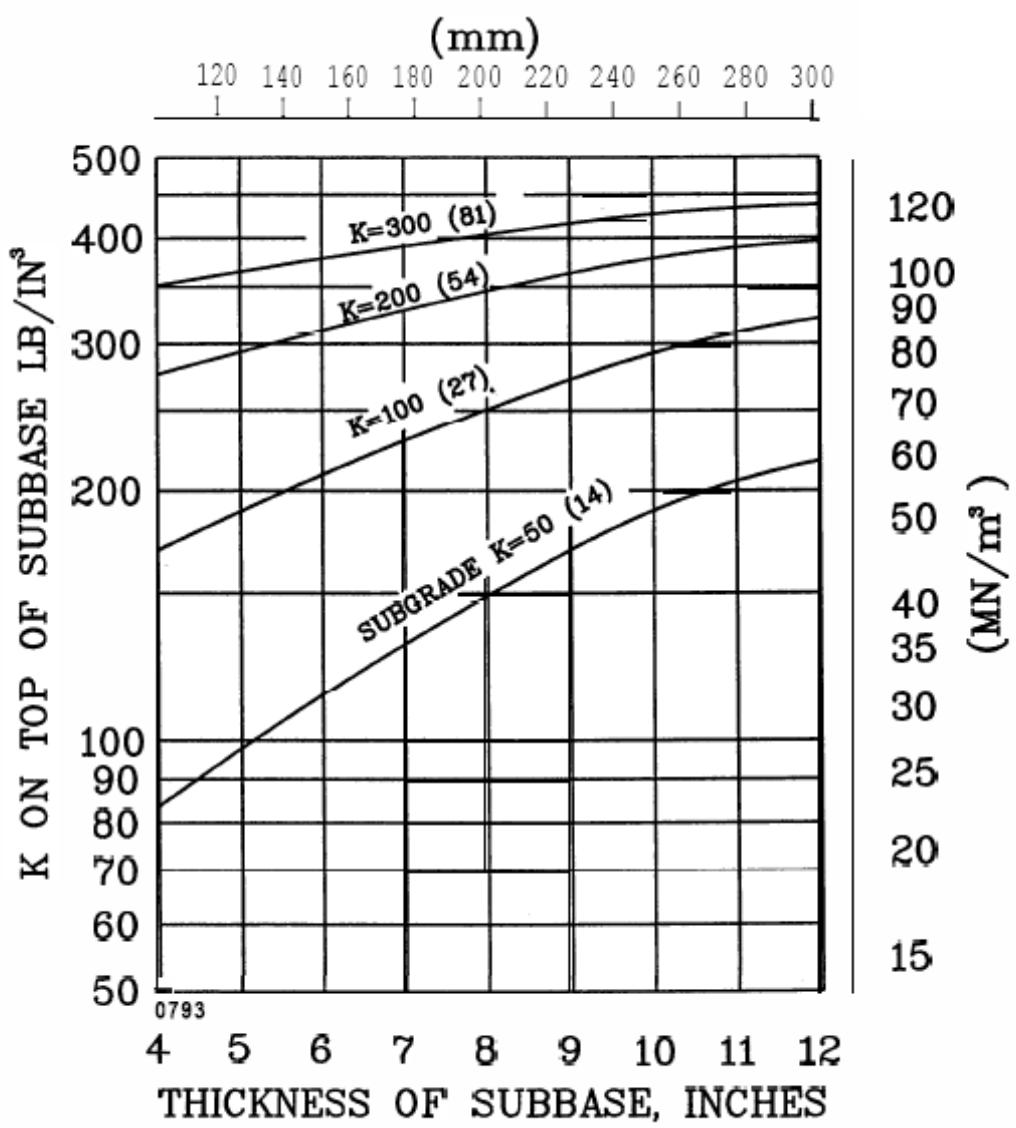


FIGURE 3-30. RIGID PAVEMENT DESIGN CURVES, L-1011-100,200

SLIKA 28 Nomogram za određivanje debljine podloge po FAA metodi



SLIKA 29. Dijagram za određivanje dopuštenog naprezanja betona po Smithu

